

МИНИСТЕРСТВО ГЕОЛОГИИ СССР
ОБЪЕДИНЕНИЕ «АЭРОГЕОЛОГИЯ»

Уч. № 07

ГЕОЛОГИЧЕСКАЯ
КАРТА СССР

МАСШТАБ 1:200 000

СЕРИЯ ДЖУГДЖУРСКАЯ

Лист О-53-XXXIV

Объяснительная записка

Составители: В.Р.Алексеев, Е.Г.Жукова
Редактор В.М.Моралев

Утверждено Научно-редакционным советом ВСЕГЕИ

12 декабря 1968 г., протокол № 39

СОДЕРЖАНИЕ

	Стр.
Введение	5
Стратиграфия	12
Интрузивные образования	37
Тектоника	52
Геоморфология	60
Полезные ископаемые	67
Подземные воды	82
Литература	84
Приложения	88

ВВЕДЕНИЕ

Территория листа 0-53-ХХХIV ограничена координатами 56°00'–56°40', с.ш., 135°00'–136°00', в.д. и относится к Аяно-Майскому району Хабаровского края.

На юге района располагается западная оконечность Кульдуми-Тунумской горной цепи, протягивающейся параллельно хр.Джуздур в северо-восточном направлении. Кульдуми-Тунумская цепь представляет собой систему узких глубоких водоразделов (1100–1200 м) и крутосклонных речных долин с относительными превышениями от 450 до 650 м. Наибольшая ее абсолютная отметка в истоках р.Мукткан достигает 1357 м. Несколько севернее, в бассейнах рек Магей, Мукткан и Тум, рельеф приобретает более мягкие очертания. Широкие куполовидные вершины (1061, 1117 и 1135 м) разделены здесь сравнительно пологосклонными речными долинами с относительными превышениями 350–500 м. В северной части района отроги Кульдуми-Тунумской цепи соединяются с краем обширного Идомо-Майского нагорья. Рельеф этой части района более сложный: невысокие (700–900 м) водоразделы разделены пологосклонными широкими, часто заболоченными долинами с относительными превышениями 200–300 м.

Речная сеть принадлежит бассейну р.Маймакан, левому притоку р.Май, и отличается значительной густотой. Долина р.Маймакан хорошо разработана, дно долины плоское шириной до 3–4 км. Река сильно меандрирует, образуя многочисленные протоки и острова. Ширина русла в среднем 60–70 м, скорость течения реки 1,5–1,8 м/с, глубина – от 1,3 до 3 м, часто встречаются перекаты. Наиболее крупными притоками р.Маймакан, протекающими в районе, являются реки Магей, Нагим, Кудуми, Чад, Тум. Долины этих рек аналогичны долине р.Маймакан, но отличаются меньшими размерами. По р.Маймакан можно спускаться на лодках до устья.

Питание рек осуществляется главным образом за счет атмосферных осадков и сезонного таяния многолетней мерзлоты. Замерзают реки в начале ноября, вскрываются в мае. Весеннее половье бывает очень бурным. Летние паводки отличаются быстрым подъемом воды с таким же быстрым ее спадом.

Климат района резко континентальный. Наиболее низкие температуры в январе (средняя – около -41° , минимальная – до -60°), наиболее высокие – в июле (средняя – около $+15^{\circ}$, максимальная до $+32^{\circ}$). Средняя годовая температура – около -11° . Средняя годовая сумма осадков около 600 мм, при этом основная их часть – 400–450 мм – выпадает в летние месяцы. Вся территория листа входит в зону почти сплошного развития многолетней мерзлоты.

Наиболее распространенным в районе являются горнотающие подзолистые почвы, на которых произрастает редкоствольная лиственничная тайга. В долинах рек на поверхности поймы и низкой террасы, где широко развиты мари, поросшие осокой, багульником, кустарниковой береской, ивой, распространены болотные почвы. На поверхности высокой террасы на песчаных почвах обычными являются сосновые боры. Зона лесов поднимается до отметок 900–1000 м. Выше (1000–1200 м) господствуют заросли кедрового стланника. Наиболее высокие водоразделы и вершины отлогов, здесь на дресянистых почвах, россыпях щебенки и развалах глыб произрастают различные мхи и лишайники.

Дикий мир отличается разнообразием. Встречаются лось, животный мир отличается разнообразием. Встречаются лось, белка, бурундук, лесная мышь. Среди птиц отмечаются глухарь, рябчик, тетерев, белая и серая куропатки, дикие утки и гуси. В реках водится белый и таймень, ленок, сиг, хариус, щука.

Обнаженность района в целом очень слабая. Более 75% его площади заросено. На водоразделах и склонах развиты развали и осыпи щебенки и глыб. Коренные выходы редки и незначительны по размерам. Чаще всего они встречаются на подмываемых склонах и на водоразделах.

Дешифрируемость развитых в районе комплексов пород плохая, реже средняя. Метаморфические породы нижнего протерозоя дешифрируются лишь в общей массе, без выделения каких-либо элементов внутренней структуры, однако они довольно хорошо отделяются от перекрывающих их более молодых вулканогенных и осадочных отложений. Вулканогенные породы среднего протерозоя, нижнего мела и палеогена уверенно дешифрируются по светлым участкам россыпей на водоразделах и стяженным нечеткоступенчатым или крутым уступчатым склонам с нерезкоголосатым рисунком их поверхности.

Местами отчетливо улавливаются элементы полого залегания пород. Территории и карбонатные отложения верхнего протерозоя, нижнего кембра, нижней юры дешифрируются по наибольшей залежности, мелкоуступчатому характеру склонов и отчетливому тонкополосчатому рисунку. Литологический состав отдельных разностей осадочных пород подчеркивается растительностью: для пещаников характерны светлые сосновые боры; для доломитов и известняков – "черная" еловая тайга; для алевролитов и аргиллитов – обычная лиственничная тайга; для песчаников нижней юры и среднего протерозоя – светлые участки и полосы незалесенных развалов. Из интрузивных образований наиболее отчетливо дешифрируются ультраосновные породы верхнего протерозоя, образующие своеобразный цифровой рельеф с обильными эрозионными формами. Довольно хорошо на аэрофотоснимках видны дайки палеозойских диабазов, выступающих на водоразделах узкими гряжками со светлыми полосами разнолов, а также пластовые и субпластовые тела нижнемеловых и палеогеновых интрузий. Разрывы дешифрируются по линейно расположенным на водоразделах непироким, часто заболоченным ложбинам, а также по участкам разных перегибов или прямолинейным отрезкам речных долин. По обе стороны от этих линий иногда наблюдаются смешения слоев или смена фототона.

Непосредственно на территории листа 0-53-ХХХIУ на р.Маймакан против устья р.Гум расположается пос.Маймакан. В настоящее время в нем проживает лишь несколько человек, которые снабжают производствами колхозных оленеводов и охотников, посещающих бассейн р.Маймакан.

Основные пути сообщения – тропы, пригодные для вьючного, а зимой и для гужевого транспорта (олени). Они связывают пос.Маймакан с другими населенными пунктами – поселками Батомгой, Нельканом, Лантарем, Чумиканом, находящимися за сотни километров. Для посадок самолетов могут быть использованы две площасти, расположенные на террасах р.Маймакан недалеко от поселка, а также косы в долинах наиболее крупных рек. Ближайший аэропорт находится в пос.Нелькан.

Первые сведения о геологическом строении рассматриваемого района относятся к 1936 г., когда А.Е.Леонов (1936ф) совершил колывской маршрут по верховьям рек Учур и Маймакан, а В.П.Глебец (1936ф) – по р.Маймакан с целью выяснения их золотоносности. Они указывают на развитие в районе трех формаций: докембрийской, сложенной дислокированными гнейсами, кристаллическими сланцами, прорваными их гранитами, альтерозитами и лавами кварцевых порфиров; кембрийской, представленной пологозалегающими осадочными

отложениями, и меловой, состоящей из различных кислых и основных эфузивов, залегающих почти горизонтально. Выходы пород были показаны на глязомерной маршрутной геологической карте.

В 1942 г. В.Н.Нагаров и В.А.Диомидова (1942ф) на основе плошадных исследований составили глязомерную геологическую карту масштаба 1:500 000 левобережной части р.Маймакан. На карте выделены докембрийские гнейсы, гнейсо-граниты, граниты; нижнепалеозойские песчаники, сланцы, известняки, анергозиты, габбро, габбро-диориты; к мезозой отнесены нижняя, средняя и верхняя эфузивные толщи, граниты и их жильные дериваты. Достижением этих исследователей явилось расщепление эфузивных пород, выделение мезозойских гранитоидов и установление связей золотоносности с последними. Неправильным оказалось объединение разновозрастных интрузивных пород – анергозитов, габбро и габбро-диоритов в единый ряд. Все эти породы они считают более молодыми, чем нижнепалеозойские осадочные отложения. Существенной ошибкой, повлекшей за собой ряд других, явилось выделение средней эфузивной толщи. В этой толще оказались объединенными докембрийские кварцевые порфирры и нижнемеловые кислые эфузивы. Недостаточно правильным было объединение всех эфузивов (кислых и основных по составу), перекрывающих кварцевые порфирры, в верхнюю толщу, несмотря состава которой объяснялась присутствием пластовых тел кварцевых порфиров и сиенит-порфиров среди базальтов и туфов. Как оказалось в дальнейшем, в этой толще выделяются три самостоятельных свиты, средняя из которых сложена кислыми эфузивами, а нижняя и верхняя – основными. Ошибочно определен возраст древнего Сыганцзинского массива гранитов как мезозойский. Золотоносность района оценивалась отрицательно.

В 1956 г. вся территория листа была покрыта аэромагнитной съемкой масштаба 1:200 000, проведенной Е.Г.Херувимовой и В.А.Ларионовым (1957ф). В результате было выявлено несколько небольших аномалий в бассейнах рек Тум, Кундумы и Магей.

В 1957 г. В.М.Тихиным (1958ф) была обследована магнитная аномалия в бассейне р.Кундумы. Магнитометрическими наземными работами было установлено, что аномалия обусловлена интрузиями диоритов и эфузивами базальтами палеогена, обладающими большой остаточной намагниченностью (400 000–500 000 ед. CGSM). Содержание железа и титана в этих породах в среднем соответственно составляет 7 и 0,5%. Заслуживающих вниманиярудопроводящий обнаружено не было.

В 1957 г. Всесоюзным аэрореологическим трестом^{х/} проводилась геологическая съемка масштаба 1:200 000: в западной половине листа 0-53-ХХХИ под руководством В.Р.Алексеева, на восточной – И.М.Фердмана. В результате впервые была составлена (с использованием аэрофотоснимков масштаба 1:63 000) кондиционная геологическая карта на топосовне масштаба 1:200 000. Возраст развитых в районе метаморфических образований по сопоставлению с аналогичными породами бассейнов рек Маймакана и Батомги был определен как нижнепротерозойский. Осадочные отложения расщеплены на свиты в соответствии с выработанной Алданской экспедицией ВАГТ схемой стратиграфии, причем из состава отложений, относимых ранее к нижнему кембрию (Глебец, 1936ф), были выделены синийские и нижневорские. Мезо-кайнозойские вулканогенные породы разделены на ряд свит мезозойского и палеоген-неогенового возраста. В основу их членения положены представления геологов ДВГУ о стратиграфии хр.Джутикур. Были изучены также взаимоотношения интрузивных пород, позволившие выделить нижнепротерозойские, синийские, палеозойские, меловые и третичные съемка, палеозойские габбро-диабазов и палеогеново-вулканогенные породы, установлены шлиховые ореолы платины, золота, пьезокварца, выявленных аэромагнитной съемкой, показала, что они вызваны массивами синийских габбро-диабазов и палеогеново-вулканогенных долеритов. В районе были обнаружены рудопроявления полиметаллов, пьезокварца, установлены шлиховые ореолы платины, золота, шеелита, базовисмутита и других минералов. Однако в целом они представлялись мало перспективными в отношении полезных ископаемых (Алексеев и др., 1958ф; Фердман и др., 1958ф).

В 1959 г. В.Р.Алексеевым и Е.Г.Жуковой на всей плошади листа 0-53-ХХХИ проводились редакционно-увязочные работы с целью подготовки его к изданию. В результате в геологическую карту были внесены существенные исправления и уточнения, касающиеся распространения части осадочных и вулканогенных пород и их расщепления. Были обнаружены новые рудопроявления.

В 1960 г. М.А.Богомоловым и В.И.Ницулом был обследован Чадский массив ультрабазитовых пород. В опубликованной ими работе (Богомолов, Ницул, 1964) Грабено освещено концентрическое строение массива, состав и генезис слагающих его пород, доказано формирование массива в два этапа, подтверждена платиноносность дунитов.

др., 1965ф; Агентов и др., 1963ф; Филиппов и др., 1966ф). В результате этих работ были выяснены особенности вещественного состава метаморфических образований батомской серии, последовательность их нарастования, размещение в пространстве и взаимоотношения с интрузиями. Развитые на территории листа 0-53-ХХII метаморфические образования в связи с их плохой обнаженностью и нешироким распространением не могли быть изучены в 1957 и 1959 гг. достаточно полно. Они ошибочно были сопоставлены лишь с верхними горизонтами батомской серии — маймакской свитой. Дополнительно проанализирован имевшийся фактический материал, авторы сошли возможным пересмотреть свои прежние представления и полностью согласиться с В.Б.Агентовым, И.И.Филипповым и другими во взглядах на стратиграфию метаморфических образований батомской серии, что нашло отражение в настоящей записке и геологической карте листа 0-53-ХХII.

В 1964 г. решением Межведомственного стратиграфического комитета был упразднен термин "синий" и было предложено синийские образования впредь именовать средне- и верхнепротерозойскими. В соответствии с этим в настоящей записке синийские отложения уянской серии и соответствующие им по времени интрузии отнесены к среднему протерозою, а отложения учурской и майской серий и позднесинийские интрузии — к верхнему протерозою. Граница между средним и верхним протерозоем проводится по подошве голубой свиты. Последняя имеет абсолютный возраст 1500 млн. лет.

В основу составленной геологической карты и карты полезных ископаемых положены материалы съемки 1957 г., редакционно-исследований 1959 г. и поисковых работ 1963 г. С листом N-53-ГУ имеются расхождения в индексации нижней свиты мезозойских эфирзиков, внесенные изменениями, внесенными в 1962 г. в легенду Джуджурской серии: выделенной на листе N-53-ГУ джелонской свите ($J_3-C_1 d_1$) на листе 0-53-ХХII соответствует немуйская свита ($C_1 m$). Кроме того, выделенным на листе N-53-ГУ двум подсвитам магейской свиты на листе 0-53-ХХII отвечают фауны вулканогенных пород, не имеющие самостоятельного стратиграфического значения. С листом 0-53-ХХII геологической карты имеются расхождения в контурах отложений и датировка их возраста: на площади рассматриваемого листа, на правобережье р. Олдоно, показана элгетайская свита, а на листе 0-53-ХХII — магейская, что объясняется новыми данными, полученными после издания листа 0-53-ХХII.

Одним из достижений этой работы, в основу которой положены материалы Ю.К.Дзевановского (1950ф) по бассейну р.Учур и В.А.Ярмолюка (1946) по бассейну р.Мая, является обобщение стратиграфии синийских отложений. Ранее разделенные только на свиты, синийские отложения здесь объединены в четвере естественных литологических комплекса — серии (снизу вверх): уянскую/ (конкулинская свита), учурскую (гонамская и омахтинская свиты), майскую (энинская, оманская, малгинская, ципандская и лахандская свиты) и уйскую (каандыкская и устькирибинская свиты), границы между которыми фиксируются перерывами, а для верхней уйской серии — резким изменением литологического состава отложений. Не менее важным явилось отнесение древних метаморфических образований бассейнов рек Маймакана и Батомги, расщепленных на уткавчансую (нижнюю), одолинскую (среднюю) и маймакансую (верхнюю) свиты, к нижнему протерозою, а не к архею, как считали более ранние исследователи.

В 1963 г. С.Д.Скотаренко (1964ф) на площади листа 0-53-ХХII были проведены геохимические поиски (металлогеометрическое обработка данных осадков и коренных пород) масштаба 1:200 000. Были обнаружены новые проявления полиметаллических руд, золота, серебра, горного хрустала, слюды, а также выявлены литохимические ореолы рассеяния некоторых элементов. Эти данные дали возможность положительно оценить перспективы района на некоторые полезные ископаемые.

В 1961-1965 гг. геологическая съемка (1:200 000) была проведена на смежных листах 0-53-ХХII и 0-53-ХХIII, где особенно широко развиты объединенные в батомскую серию метаморфические образования уткачанской, одолинской и маймаканской свит (Ставцев и

x/

х/ В более поздних работах (Гамалея и др., 1964ф; Забродин, 1966) в уянской серии были выделены толберианская, элгетайская и бириндинская свиты; существование же конкулинской свиты было поставлено под сомнение (Шпак, 1965ф), а ее отложения стали включаться в состав гонамской свиты. — Прим. авт.

СТРАТИГРАФИЯ

В геологическом строении района принимают участие нижне-протерозойские метаморфические породы, средне- и верхнепротеро-зойские вулканогенные и терригенные отложения, кембрийские карбонатные породы, нижнекорские терригенные отложения и вулкано-генные образования мелового и палеогенового возраста. Широко раз-виты рыхлые четвертичные образования.

В настоящей записке приведены следующие рубежи докембрийской геохронологии: архей до 2600 млн. лет, нижний протерозой 2600–2000 млн. лет, средний протерозой 2000–1500 млн. лет, верхний про-терозой 1500–500 млн. лет.

ПРОТЕРОЗОИСКАЯ ГРУППА

НИЖНИЙ ПРОТЕРОЗОЙ

Батомская серия

Метаморфические образования рассматриваемого района отно-сятся к батомской серии и представлены биотитовыми, амфиболово-ми, биотит-амфиболовыми и амфибол-биотитовыми гнейсами и кри-сталлическими сланцами и амфиболитами, выходящими на поверхность на севере территории листа. Батомская серия разделяется на три свиты: нижнюю – утукачансскую, среднюю – одолинскую и верхнюю – маймакансую. Последняя разделена на две подсвиты. Граница между свитами и подсвитами в значительной степени условна.

Вся толща метаморфических пород интенсивно мигматизирована. В большей степени мигматизация подвержены биотитовые разности, в меньшей – амфиболовые. Вблизи массивов раннепротерозойских интрузий степень мигматизации вмещающих пород увеличивается. Гранитный материал в мигматитах представлен плагиогранитами и реже микроклиновыми гранитами.

Плохая обнаженность и неблагоприятные особенности рельефа (вытянутость водоразделов параллельно простианию пород), не замечающая площадь выходов метаморфических образований не позво-ляет в описываемом районе установить детали разреза отдельных свит, поэтому последние охарактеризованы лишь в общих чертах, с учетом материалов по смежным глощацам.

Утукачанская свита (Pt_{1-4}) выходит на поверхность в бассейне р.Чад и характеризуется довольно однообразным составом. Сложена она в основной своей части биотито-выми, изредка гранат-биотитовыми мелкокристаллическими пла-гнейсами и кристаллическими сланцами, нередко присутствуют мало-мощные прослои и пачки кварцевых амфиболитов. По отсутствию пачек минерализованных мраморов, гранат-силиманит-биотитовых гнейсов и кварцитов, которые в соседних районах, по данным Н.С.Шпак (1962) и И.И.Филиппова (1967), относятся к средней и нижней частям утукачанской свиты, можно допустить, что в описанном районе обнажена лишь верхняя ее часть.

Биотитовые пластигнейсы – серые, коричневато-серые мелко-зернистые породы, состоят из олигоклаза, олигоклаз-андезина (30–60%), кварца (15–30%), биотита (10–30%), биотита (10–30%) и единичныхзерен аллита, магнетита, монацита и циркона. Структура пород лепидогранобластовая. Гранат-биотитовые разности характеризуются присутствием немногочисленных (реже до 8–10%) зерен граната, иногда порфирогранобластовой структурой. Кристаллические сланцы отличаются от гнейсов низким (до 5–10%) содержанием кварца. Кварцевые амфиболиты – темно-серые до черных породы, состоят они из андезина (30–40%), кварца – до 10%, роговой обманки (50–70%), иногда биотита – до 2, реже – 5%; акцессорные – сфеен, магнетит и гематит.

Видимая мощность утукачанской свиты не менее 2500 м. О долинская свита (Pt_{1-4d}) обнажена на не-большой площади в приструевой части рек Чад, Зльдому и Марей. Она сложена однообразными переслаивающимися амфиболитами, биотит-амфиболовыми, амфибол-биотитовыми пластигнейсами и кристаллическими сланцами, среди которых присутствуют прослои (до 30 м) амфиболитов. Породы отличаются меланократовым обликом. Мощность прослоев отдельных разностей колеблется от десятков до сотен метров. В иззах одолинской свиты преобладают амфиболовые и биотит-амфиболовые кристаллические сланцы, которые в верхних частях свиты постепенно сменяются пластигнейсами сходного состава. Здесь же появляются прослои амфибол-биотитовых пластигнейсов. Амфиболиты раз-виты по всему разрезу свиты.

Амфиболитовые и биотит-амфиболовые кристаллические сланцы и пластигнейсы представляют собой темные зеленоватые, зеленово-то-серые, мелко-, средне- и крупнозернистые породы с хорошо выраженной сланцеватой или массивной текстурой. Кристаллические сланцы состоят из ациза-и-лабрадора (до 20%), амфибола (30–60%), моноклинного пироксена (10–12%), биотита (15%), кварца –

(10%); акцессорные и рудные минералы – магнетит, сфен, рутил, редко ортит. Из вторичных минералов наиболее обычны – эпидот, хлорит, серидит. Структура гранобластовая, в разностях с биотитом – лепидогранобластовая. Плагиогнейсы отличаются от одноименных кристаллических сланцев более кислыми плагиоклазами (олигоклаз-андезином) и более высоким содержанием кварца – до 35–40%. В мигматизированных разностях кристаллических сланцев и плагиогнейсов иногда появляется небольшое количество кварца и кальевого полевого шпата в микролегматитовых сростках и в виде мелких зерен.

Видимая мощность одолинской свиты 2000 м.

Породы ма́ймака́нско́й скопи́тии выходят на поверхность в долине р. Ма́ймакан и по правым притокам р. Ма́гей. По составу пород она разделяется на две подсвиты: нижнюю и верхнюю.

Нижнюю подсвиту ($Pt_1 m \#_1$) ма́ймаканской свиты слагают амфиболовые и биотитовые, а также промежуточного состава плагиогнейсы и кристаллические сланцы. В нижней половине нижней подсвиты сложена биотит-амфиболовыми плагиогнейсами с прослоями амфиболовых и амфибол-биотитовых плагиогнейсов и кристаллических сланцев. Мощность отдельных пачек пород – десятки метров, прослоев – до 20–30 м; в верхней половине в составе подсвиты увеличивается мощность (до 100–200 м) и количество прослоев биотитовых разностей пород за счет уменьшения амфиболовых. Одновременно породы приобретают более лейкократовый облик.

Наиболее типичными породами нижней подсвиты являются амфибол-биотитовые плагиогнейсы и кристаллические сланцы. Это серые и темно-серые обычно среднезернистые породы с тонкосланцеватой или линейно-вытянутой текстурой, состоящие из андезина (45–75%), биотита (10–30%), роговой обманки (3–10%), кварца (5–15%), кальевого полевого шпата – до 10%, акцессорные и рудные минералы – апатит, магнетит, циркон, рутил, сфен, реже ортит. Амфиболовые, биотит-амфиболовые плагиогнейсы и кристаллические сланцы нижней подсвиты не отличаются от аналогичных пород одолинской свиты.

Мощность нижней подсвиты ма́ймаканской свиты более 2000 м. В целом верхняя подсвита ($Pt_1 m \#_2$) представляет собой монотонную толщу преимущественно биотитовых плагиогнейсов с прослоями (до 80–100 м) амфибол-биотитовых, биотит-амфиболовых плагиогнейсов и биотитовых кристаллических сланцев. От нижней подсвиты и особенно от одолинской свиты верхняя подсвита отличается большей лейкократостью, в ней чаще наблюдается тонкая и четкая полосчатость.

Биотитовые плагиогнейсы представляют собой серые, светло-серые среднезернистые породы с правильной полосчатой и сланцеватой текстурой. Породообразующими минералами являются олигоклаз-андезин (30–50%), биотит (15–30%), роговая обманка – до 5%, кварц (30–40%), акцессорные и рудные минералы – магнетит, сфен, циркон, апатит, рутил, ортит. Структура пород лепидогранобластовая.

Биотитовые кристаллические сланцы – породы темно-серого и серого цвета, сланцеватые, состоящие из биотита (35–50%, реже 60%), андезина (15–50%), роговой обманки (до 5%), кварца – до 5%; акцессорные минералы – рутил, циркон, апатит, сфен.

Видимая мощность верхней подсвиты около 1500 м.

В нижепротерозойских метаморфических породах наблюдаются регressive изменения: плавным образом, вдоль разрывных нарушений (приступная часть рек Чад, Эльдуму, правобережье р. Ма́гей). Выражаются они в эпидотизации, мусковитизации, хлоритизации и серидитизации. В некоторых случаях в породах одолинской свиты содержание эпидота и мусковита достигает 10–15% всего объема породы. Эпидот развивается по плагиоклазу и роговой обманке и обычно выполняет тонкие прожилки по сланцеватости пород. Мусковит развивается по темноцветным минералам, реже – плагиоклазу.

Нижнепротерозойский возраст батомгской серии подтверждается залеганием на ней с резким угловым несогласием слабо метаморфизованных эфузивных и осадочных отложений среднего протерозоя, возраст которых определяется в 1600–1800 млн. лет. Породы батомгской серии метаморфизованы в условиях амфиболовой фации, тогда как архейские образования метаморфизованы преимущественно в условиях гранулитовой фации. Определения калий-аргоновым методом абсолютного возраста биотита из гранитов, рутильных и мигматизирующих пород батомгской серии в бассейнах рек Тонекан, Аимчан, Бол. Джалгатда (лист 0-53-XXIX), дают цифры: 1906, 1990, 2100 млн. лет (Ставцев и др., 1965), что соответствует нижнему протерозою.

СРЕДНИЙ ПРОТЕРОЗОЙ

Униская серия

Элгээтийская свита ($Pt_2 e f$) сложена кислыми и основными эфузивами, реже полевошпат-кварцевыми песчаниками, туфами кислого и основного состава. Ее выходы расположаются в северной и западной частях территории района, в бассейнах рек

Нимар, Тум, Олондо, Эльдому, Солончак, Чатук. Элгэтэйская свита, застегает трансгрессивно с резким угловым несогласием на метаморфических породах батомской серии и с размывом на раннепротерозийских гранитоидах.

В бассейне среднего течения р.Чад в разрезе элгэтэйской свиты залегают (снизу вверх):

1. Грубо переслаивающиеся между собой (5-10 м.)	черные, зеленоватые, реже лиловатые диабазы, диабазовые и плагиоказовые миндалекаменные порфириты	40 м
2. Песчаники желтые, полевошпат-кварцевые,	крупнозернистые, слоистые	15 "
3. Диабазы, диабазовые порфириты	3. Диабазы, диабазовые порфириты	170 "
4. Кирпично-красные, лилово-красные, фиолетовые кварцевые порфириты и ортофириты, изредка туфы	4. Кирпично-красные, лилово-красные, фиолетовые кварцевые порфириты и ортофириты, изредка туфы	120 "
5. Диабазы, аналогичные вышеописанным	5. Диабазы, аналогичные вышеописанным	30 "
6. Песчаники полевошпат-кварцевые	6. Песчаники полевошпат-кварцевые	16 "
7. Диабазы, миндалекаменные порфириты	7. Диабазы, миндалекаменные порфириты	50 "
8. Кварцевые порфириты, ортофириты, видимая мощность	8. Кварцевые порфириты, ортофириты, видимая мощность	40 "
9. Песчаники желтые, розоватые, средне- и крупнозернистые, слоистые, толстолистчатые	9. Песчаники желтые, розоватые, средне- и крупнозернистые, слоистые, толстолистчатые	35 "
10. Диабазы, миндалекаменные порфириты общая мощность разреза около 900 м.	10. Диабазы, миндалекаменные порфириты общая мощность разреза около 900 м.	250 "

Юго-восточнее, в бассейне р.Эльдому, разрез сходен с выше приведенным, но в верхней части увеличивается количество песчаников, а мощность всей элгэтэйской свиты здесь несколько меньше - около 600 м.

На востоке, в бассейне р.Солончак и по левому притоку р.Чалбук в составе элгэтэйской свиты преобладают основные эфузы, среди которых отмечаются две пачки песчаников (60 и 30 м) и пачка кварцевых порфиритов и ортофиритов (120-150 м). Общая мощность отложений здесь 500-550 м.

В междуречье Олондо - Нимара элгэтэйская свита сложена преимущественно лавами кислого состава, среди которых нередко присутствуют туфы кварцевых порфиритов. Наибольшая мощность пород на этом участке 1500-2000 м.

В междуречье р.Нимар (крайний южный выход) обнажаются главным образом диабазы, диабазовые порфириты и их туфы (не менее 500-600 м), по-видимому, относящиеся к низам элгэтэйской свиты. Кварцевые порфириты и ортофириты здесь встречаются лишь в виде прослоев и линз небольшой (до 30 м) мощности.

Выделенные на карте маркирующие горизонты песчаников расположаются как в верхних, так и в нижних горизонтах элгэтэйской свиты. Они либо находятся среди основных эфузы, либо приурочены к их контактом с кислыми эфузы. В последних встречаются лишь мелкие обломки песчаников - ксенолиты. Сокращение мощности элгэтэйской свиты в северо-восточном направлении обусловлено уменьшением мощности и выклиниванием отдельных горизонтов, а также значительным предгорным разрывом.

Кварцевые порфириты представляют собой в подавляющем большинстве красные, кирпично-красные, значительно реже лиловые, серые и белые с розоватым оттенком породы с ясно выраженным вкраплениниками (15-40%) белых и розовых полевых шпатов (альбит-олигоклаз и кали-натровый полевой шпат), кварца и темноватых минералов - пироксена, амфибола, биотита. Основная масса породы (60-85%) состоит из бурого кварц-полевошпатового агрегата с примесью сериита, хлорита и рудной пыли и имеет микрогранитовую, микропойкилитовую и сфералитовую структуру. Аксессорные минералы: циркон, магнетит, реже монацит.

Ортофириты по составу и облику близки кварцевым порфиритам и отличаются от них лишь отсутствием вкраплеников кварца. Химический анализ кварцевых порфиритов бассейна р.Олондо: показал содержание компонентов (в %): SiO_2 - 72,52; TiO_2 - 0,36; Al_{2}O_3 - 13,20; Fe_{2}O_3 - 2,97; FeO - 1,18; MnO - 0,14; CaO - 0,15; Na_2O - 2,26; K_2O - 5,51; H_2O - 0,14; P_{2}O_5 - 0,08; P.L.P. - 0,51, сумма - 99,02. При пересчете содержаний по А.Н.Заваричному были получены следующие чистовые характеристики: a - 12,74; c - 0,19; b - 9,19; b - 77,88; a' - 45,0; f' - 38,0; m' - 17,0; c' - 0; n - 36,0; t - 25,0; q - 0,3.

Диабазы представляют собой темно-зеленые, черные, нередко буроватые равномернозернистые породы, состоящие из андезина или лабрадора (40-60%) и авгита (40-60%). Авгит частично замещен уралитом, реже хлоритом и базальтической роговой обманкой. В интерстициях между листами плагиоклаза наблюдается хлоритизация. Из рудных минералов присутствуют кильментит с лейкоксеном, магнетит, гематит и лимонит. Структуры разнообразные: оффовая, диабазо-оффовая, местами пойкилооффовая, интерсерпальная, гиалопилитовая. Среди диабазов встречаются оливинсодержащие разности. Миндалекаменные диабазы от обычных отличаются некоторым количеством плагиоклаза, структурами алюминогерстальной, сидеронитовой, редко витрофировой и наличием мицелии (до 60%) размером от 0,5 до 5 мм, выполненных кварцем,

хлоритом, а также сферолитами тонковолокнистого кальевого полевого шпата и кальцитом. Иногда миндалины имеют концентрическое строение.

Диабазовые и плагиокласовые порфириты отличаются от описанных пород главным образом присутствием порфировых вкраплеников (от 5 до 30%) пироксена, амфибита и андезина, состав и структура основной массы почти не меняются.

Песчаники полевошпат-кварцевые, состоят из зерен кварца (до 40–60%) и калиевого полевого шпата (до 20–40%), присутствуют зерна кварцитов. Аксессорные – сфен, апатит, магнетит. Цемент глинисто-серидитовый, неравномерно железистый поровый, реже базальтический. В отдельных разностях песчаников наблюдается до 20–25% плагиоклазов с албитовыми двойниками, а также вторичные мусковит и биотит – в виде линзовых чешуек.

Среднетреторозийский возраст элгэтайской свиты определяется тем, что она не согласно залегает на метаморфических образований нижнего протерозоя и трансгрессивно перекрываетсь песчаниками гонамской свиты и юрского протерозоя. Возраст кварцевых порфиров элгэтайской свиты бассейна р. Улкан (Гамалея и др., 1964) 1630 млн. лет (калий-аргоновый метод, определения Н.И. Половой, ВСЕГЕИ) и 1840 млн. лет (свинцовом методом, определения по приложению А.И. Тугаринова, ГЕОХИ).

По составу, структурным и текстурным особенностям диабазы, диабазовые и миндалекаменные порфириты алгэтайской свиты ничем не отличаются от диабазов силлов, залегающих в песчаниках гонамской свиты, которая с перерывом лежит на размогой поверхности алгэтайской. Поэтому вполне возможно, что некоторая часть основных городов алгэтайской свиты, в действительности, является не покровами, а силами позднетреторозийских диабазов. Однако видеть последние из разреза алгэтайской свиты практически невозможно при данном масштабе работ.

Кварцевые порфириты алгэтайской свиты, вероятно, комагматичны гранитоидам улканского комплекса, что подтверждается следующими данными:

1. Кварцевые порфириты алгэтайской свиты в бассейнах рек Учур и Маймакан пространственно тесно связаны со среднетреторозийскими (раннесининскими) гранит-порфиритами, а через них и с гранитами Южно-Уральского массива. Между ними неоднократно наблюдались постепенные переходы (Алексеев и др., 1958; Зленко, Шпак, 1961). Кроме того, отмечалось прорывание тонкими (3–5 см) седиментными жилами кварцевых порфиритов полевошпат-кварцевых песчаников

элгэтайской свиты (Алексеев и др., 1958; Алексеев, Жукова, 1960).

2. Внешний облик и структура пород очень близки. Как для кварцевых порфиритов, так и для гранит-порфиритов и гранофировых гранитов характерна относительная бедность аксессориями и однокомпонентный состав их (циркон, магнетит).

3. По химическому составу породы также близки, что видно из сравнения кварцевых порфиритов бассейна р. Ольондо и гранофировых гранитов бассейна р. Ньюесмар (Гамалея и др., 1964), содержание которых приводится ниже (в %): SiO_2 – 73,00; TiO_2 – 0,26; Al_2O_3 – 13,14; Fe_{2O_3} – 2,24; FeO – 1,55; MnO – 0,08; MgO – 0,45; CaO – 0,40; Na_2O – 5,42; K_2O – 2,48; P_{2O_5} – 0,09; SO_3 – сл.; п.п. – 0,43; сумма – 99,54; чистовые характеристики по А.Н. Заварницкому: a – 12,7; b – 7,5; c – 0,5; α – 79,3, α^{\prime} – 47,4; β^{\prime} – 43,0; m' – 9,6; d' – 0, n – 41,3; φ – 0,3.

4. Абсолютный возраст, определенный свинцовом методом по приложению А.Н. Тугариновым (ГЕОХИ), для кварцевых порфиритов элгэтайской свиты дает 1840 млн. лет, а для гранитоидных гранитов Южно-Уральского массива по трем определениям – 1900–1960 млн. лет, т.е. не только близки, но для последних даже несколько древнее.

Все изложенные выше факты показывают, что точка зрения, высказываемая в ряде работ (Зленко, Шпак, 1961; Шпак и др., 1962) о комагматичности части кварцевых порфиритов и гранитоидов Улканского комплекса до настоящего времени не утратила своего значения.

ВЕРХНИЙ ПРОТЕРОЗОЙ

Верхнетреторозийские образования представлены терригennыми отложениями гонамской и энинской свит, которые относятся соответственно к нижним горизонтам уральской и майской серий. Возраст этих отложений рассматривается совместно.

Учурская серия

Гонамская свита (Pt_3, dp) представлена красноцветными аркозовыми, реже кварцевыми песчаниками, почти непрерывной полосой прослеживающимися на севере в бассейнах рек Коту-Олдондо, Чад, Эльдому, Маймакан, ниже устья р. Амынгы, и по

притокам р.Магей в ее нижнем течении. В бассейне р.Чад гонамская свита с размывом залегает на различных горизонтах элгэтайской свиты, а на левобережье р.Солондзы лежит непосредственно на метаморфических образованиях нижнего протерозоя.

Нижние горизонты гонамской свиты сложены либо грубыми гравелистами песчаниками (бассейн р.Чад), либо конгломератами, встречающимися в основаниях свиты в виде невыдержаных по простираннию линз. Конгломераты обнажены в бассейнах рек Тума, Амунгды, Ногокана, Солондзы и притоку р.Чадбук. Обычно мощность конгломератов не превышает 1-3 м, но местами (р.Амунгда) достигает 20-25 м. Причем, чем больше мощность конгломератов, тем крупнее обломки, достигающие иногда 25-30 см в поперечнике. Галька конгломератов имеет различный размер и окатанность; в ней преобладают кварцевые порфиры (до 90%), встречаются кварц, полевошпат-кварцевые песчаники, гнейсы и раннепротерозойские граниты.

Средняя, наиболее мощная (100-120 м), часть гонамской свиты

состоит из розовато-желтых до розовато-бурых,

иначе желто-серых арковых толстоигличитовых (1-1,5 м) песчаников. Песчаники крупнозернистые, реже грубые, плохо отсортированные, сплошные, нередко косослоистые, слабо окисленные, участками обогащенные полевым шпатом.

В верхах гонамской свиты (р.Эльдому) отмечаются желтонастые и светло-серые кварцевые песчаники мощностью не более 20-25 м.

Песчаники сложены изометричными, угловато-окатанными зернами кварца (до 50-60%), изометричными или продолговатыми, реже таблитчатыми зернами полевых шпатов как калиевых, так и платигранитовых, обычно сильно пелитизированных (до 30-35%), окатанными зернами кварцевых порфиров, гранит-порфиров (до 5-9%), кремнистых пород и кварцитовидных песчаников. Алевритосорные представлены единичными зернами циркона, сфена. Цемент в основном кварцевый регенерационный и серпилитовый соприкосновение, реже железистый заполнения пор и пленочный, а также смешанного состава.

Общая мощность гонамской свиты 150 м.

Необходимо отметить, что по поводу объема гонамской свиты существуют принципиальные разногласия, определяющиеся различными взглядами исследователей на стратиграфию красноцветных теригенных городов, залегающих в низах разреза верхнепротерозойских (синийских) осадочных образований бассейна р.Учур. В.Р.Алексеев, Я.Д.Шенкман (ВАГТ), С.В.Нужнов (Якутский филиал АН СССР), Б.Е.Забродин (ГИН) и др. разделяют красноцветные породы на р.Учур на две самостоятельные свиты (нижнюю - конкулинскую и

верхнюю - гонамскую), каждая из которых с размывом залегает на подстилающих породах. При этом указывается, что к востоку от меридiana р.Тыркан (левый приток р.Учур) в бассейнах рек Амуликан, Конкули и Уян, все более широкое плюодное развитие приобретают нижние горизонты красноцветных пород (конкулинская свита), значительно увеличивающиеся в мощности и восточнее, в бассейне рек Бириндилья, Улкан (Забродин, 1966), возможно, надстраивающимися снизу вулканогенно-терригенными отложениями бириндинской свиты. Верхние же горизонты красноцветных пород (собственно гонамская свита) с запада на восток быстро срезаются трансгрессивно залегающей энинской свитой и к востоку от меридiana р.Уян отсутствуют. В И.Гольденберг, В.М.Моралев и Д.Н.Гамалея (ВАГТ), А.К.Башарин (Сибирский филиал АН СССР), Г.Ю.Лагадина (ВСГЕИ) и др. утверждают, что красноцветные терригенные породы бассейна р.Учур слагают единый комплекс осадочных образований и поэтому должны объединяться в одну гонамскую свиту, объем которой при этом значительно увеличивается. Различный состав свиты и существенные отличия ее мощностей в отдельных участках объясняются особенностями осадконакопления и существованием фациальных зон. Во всяком случае, непосредственным картированием доказано, что развитие на территории листа 0-53-ХХХII красноцветные арковые и полевошпат-кварцевые песчаники, если и сопоставляются, то только с нижними горизонтами красноцветных терригенных пород междууручья Тырканы и Уяна.

Майская серия

Энинская свита (P_{3-ep}) сложена серыми, зеленовато-серыми, желтоватыми алевролитами, артиллитами и мелкозернистыми песчаниками, широко развитыми в бассейнах рек Чад, Маймакан и Магей. Породы энинской свиты трансгрессивно, без видимого углового несогласия залегают на различных горизонтах гонамской свиты, а в бассейне р.Хоту-Олдоно и по правобережью р.Маймакан, несколько выше устья р.Магей, на элгэтайских кварцевых порфирах. В междуречье Чумканы - Омни - Томпокана (листы 0-53-ХХ, 0-53-ХХI и 0-53-ХХII) энинская свита залегает на гранитах и гнейсах нижнего протерозоя (Шпак и др., 1962).

В основании энинской свиты в долине правого притока р.Маймакан, в 8 км выше устья р.Магей, присутствуют конгломераты мощностью в несколько метров, которые состоят из гальки кирпично-красных кварцевых порфиров, реже арковых и кварцевых песчаников, сцепленных сильно обожженным глинисто-песчани-

тым цементом. Обычно же низы энинской свиты сложены вишнево-красными, зелеными и черными алевролитами и аргиллитами, иногда с пустотками (до 3 см в поперечнике) от выплоченной гальки, мощность их – до 20 м.

Виши энинская свита представлена однообразным переслаиванием серых и зеленоватых алевролитов, тонколитичных мелко-зернистых тонкослоистых песчаников и черных аргиллитов, мощность слоя 280 м.

В бассейнах рек Эльдому и Южникан в нижней половине энинской свиты присутствуют две 20–30-метровых пачки светлых мелко- и среднезернистых кварцевых песчаников точечно и неравномерно пятнисто-ожелезненных, толстошитчных, слоистых с небольшими пустотками выщелачивания.

Песчаники состоят преимущественно из зерен кварца (до 80–90%), полевого шпата, кремнистых пород и глауконита. Цемент разнообразный: кварцевый регенерационный серидитовый, иногда глинистый поровый или соприкосновения. Присутствуют окислы железа либо в виде мелких скоплений, либо в виде заполнения пор между зернами.

Мощность энинской свиты около 300 м.

Фациональных изменений в энинской свите не наблюдается, однако пачки толстолитичных массивных песчаников по простиранию не выдерживаются, они либо выклиниваются, либо разветвляются на ряд отдельных менее мощных пластов.

Возраст гонамской и энинской свит непосредственно в пределах рассматриваемого района определяется тем, что они с первым залегают на эффицизиях элгээтайской свиты среднего протерозоя, при этом верхняя из них – энинская, трансгрессивно перекрывает юломской свитой, которая согласно подстилает фаунистически охарактеризованное отложение пестроцветной свиты нижнекембрия. Определения абсолютного возраста этих отложений в нижнем течении бассейна р. Учур (лист 0-52-XXX) также подтверждают их верхнепротерозойский возраст: гонамская свита по глаукониту из песчаников – 1500 млн. лет, энинская свита, также по глаукониту, – 1200 млн. лет (калий-аргоновый метод определения Г.А. Казакова, ГЕОХИ) (Нужнов, 1961).

П А Л Е О И С К А Я Г РУППА

КЕМБРИЙСКАЯ СИСТЕМА

Н и ж н и й о т д е л

Отложения нижнего кембрия представлены карбонатными породами юломской и пестроцветной свит. Они развиты в бассейне р. Хоту-Олдоно и на правобережье р. Маймакан, где без видимого несогласия залегают на терригенных породах энинской свиты. Трансгрессивное налегание нижней (юломской) свиты устанавливается лишь на обширных площадях и выражается в постепенном срезании верхне- и среднетретророзийских отложений с востока (бассейн р. Мал.) на запад (бассейн р. Учур) (Шпак и др., 1962).

Ю л о м с к а я с в и т а ($Sp_1/4$). Нижние горизонты юломской свиты сравнительно хорошо обнажены на правобережье р. Маймакан (руч. Южникан), где они представлены доломитами и известковистыми доломитами, в основании которых имеется маломощный (не более 1 м) прослой сильно обожженных конгломератов с галькой известняков, песчаников, алевролитов и аргиллитов, сцеплентированных железисто-карбонатным цементом. Видимая мощность доломитов – 20–25 м.

Более высокие горизонты юломской свиты, судя по выходам в бассейне р. Хоту-Олдоно, сложены желтоватыми и светло-серыми доломитами от мелко- до крупнокристаллических, плотными массивными, местами кавернозными с характерным сахаристым блеском и со слабым запахом битума при ударе. Мощность отдельных пластов доломитов – 1–2,5 м, пласти групируются в пачки по 20–30 м. Видимая мощность доломитов – 100–120 м.

Химический состав доломита (%): SiO_2 – 3,48; Al_2O_3 – 0,12; Fe_2O_3 – 0,83; CaO – 30,55; MgO – 20,63; SO_3 – сл.; п.п.п. – 44,56; K_2O – 0,41; Na_2O – 0,11; гигр.вода – 0,28; сумма – 100,97.

Общая мощность юломской свиты 150 м.

Возраст юломской свиты определяется как нижнекембринский на основании того, что она трансгрессивно залегает на верхнепротерозойских отложениях и образовалась в течение единого цикла осадконакопления с фаунистически охарактеризованной надстроющей ее пестроцветной свитой арданского яруса нижнего кембрия.

П е с т р о ц в е т н а я с в и т а ($Sp_1/4$) обнажается на небольших участках на водоразделе рек Хоту-Олдоно и Чал. Она сложена доломитистыми и глинистыми известняками, которые связаны

постепенным переходом с подстилающими их доломитами южной свиты.

В нижней части (35–40 м) пестроцветная свита представлена вишнево-красными тонкоплитчатыми доломитистыми и глинистыми известняками плотными от мелко- до микрозернистых. Верхние горизонты (20–25 м) сложены зеленовато-серыми известняками, пронизанными по трещинам жилками вторичного кальцита. В некоторых разностях известников присутствуют мелкие фрагментарные остатки фауны.

Химический состав известняков (в %): SiO_2 – 15,6; Al_2O_3 – 2,60; Fe_2O_3 – 2,05; CaO – 41,60; MgO – 1,12; SO_3 – 0,16; п.п.п. – 35,44; K_2O – 0,65; Na_2O – 0,52; сумма – 99,74.

Мощность пестроцветной свиты – около 60 м.

В известняках пестроцветной свиты И.Т.Журавлевой (ПИН) обнаружены спикулы шестилучевых губок из отряда Нетактилледа, обрывки водорослей Бирнитоп, обломки неопределенных брахиопод, трилобитов и гиаплитов. По мнению И.Т.Журавлевой, комплекс этих форм очень характерен для средней части пестроцветной свиты алданского яруса нижнего кембрия.

МЕЗОЗОЙСКАЯ ГРУППА

ЮРСКАЯ СИСТЕМА

Нижний отдел

Песчаники, отнесенные к южно-кембрийской свите ($\text{J}_1 \text{ j } ?$), развиты на площади в несколько квадратных километров в бассейне р.Хоту-Олдоно. Они трансгрессивно залегают на отложениях южной и пестроцветной свит и прорываются дайкой нижнемеловых фельзит-порфиров.

В разрезе южной свиты в бассейне р.Хоту-Олдоно залегают (снизу вверх):
1. Грубые преимущественно полевошпат-кварцевые песчаники и гравелиты с небольшими линзами конгломератов, сложены мелкой, реже среднего размера галькой и утловатыми обломками песчаников, алевролитов, кварцевых порфиров, гранитов и кремнистых пород . . . 1,5–2 м
2. Песчаники полевошпат-кварцевые, светлые, желтоватые, разновзернистые, с характерным точечным окелезнением, нередко с косой слоистостью, с единичными тонкими пропластками черных аргиллитов (в по-

ледних часто встречаются сильно обугленные растительные остатки, реже отпечатки листвьев и веток плохой сохранности).

3. Песчаники полимиктовые светло-серые, серые, мелковарнистые, хорошо отсортированные, с тонкой, четко выраженной слоистостью 50–60 м

Верхние горизонты южной свиты (20–25 м) не обнаружены.

Песчаники состоят из остроугольных или слабоокатанных зерен кварца (до 85%), калиевых полевых шпатов и платигипазов (до 12%), слюдисто-кремнистых пород и алевролитов (до 8%), содержат листочки слюды, зерна циркона. Цемент железистый, железисто-кремнистый, железисто-серидитовый, соприкосновения, реже пленочный.

Мощность южной свиты 80–90 м.

Южная свита принадлежит к самим нижним горизонтам отложений южной системы наложенных впадин южной части Алданского щита. Она характеризуется устойчивым составом на больших площадях и сохранилась либо в траншеях и блоках, либо в крутих понижениях и депрессиях типа Токинской впадины (Дзевановский, 1950).

Вышеописанные песчаники имеют много общих черт с песчаниками южной свиты, достоверно установленными в 300 км западнее, в бассейне р.Тыркан: сходство литологического состава, насыщенность обугленными растительными остатками, отсутствие лирокластического материала. Все это позволяет условно отнести охарактеризованные песчаники к южной свите нижней юры.

МЕЛОВАЯ СИСТЕМА

Нижний отдел

К нижнему мелу относятся вулканогенные породы немуйканской и матейской свит.

Выходы немуйканской и матейской свит (Ср₁пп) в виде неширокой полосы прослеживаются в бассейнах рек Матынган, Тум, Амунгда, по правым и левым притокам р.Матей – рекам Чалбук, Гайк, Ногокан, небольшой отдельный выход имеется в устьевой части р.Бургала. Немуйканская свита с угловым несогласием залегает на отложениях кембрия, верхнего и среднего протерозоя –

Х/ Отпечатки определить не удалось из-за плохой сохранности.

это особенно четко наблюдается в бассейне р.Хоту-Олдоно.

Немуйканской свиты представлена андезитами, реже дацитами и порфиритами. В нижних горизонтах в подчиненном количестве встречаются туфы среднего и смешанного состава с линзами туфогенно-осадочных пород.

На юге, на право- и левобережье р.Маймакан в основании немуйканской свиты имеются туфопесчаники и туфолавролиты, переливающиеся с зеленовато-серыми лавами дацитового состава.

В туфопесчаниках наблюдается большое количество обломков (до 20-40 см) гранит-порфиров, гранитов, анергозитов, гнейсов и других пород. В хорошо отсортированных слоистых туфолавролитах имеются отпечатки и обрывки неопределенных растительных остатков.

Мощность нижней пачки 30-35 м. Выше немуйканской свита сложена темно-серыми, лиловатыми и зеленоватыми андезитовыми порфиритами мощностью около 150 м.

Севернее, в бассейне р.Тум, немуйканской свита сложена серыми, зеленовато-серыми, лиловато-серыми андезитовыми порфиритами. Встречаются разности, имеющие шаровую отдельность. В подчиненном количестве присутствуют прослои гранито-серых и лиловатых туфов с обломками среднепротерозойских кварцевых порфиров и гранитов, изредка песчаников и порфиритов. На левобережье Тума в туфах отмечаются линзовидные прослои мелкозернистых туфопесчаников и лапиллы размером до 5 см. Мощность немуйканской свиты в бассейне р.Тум 100-120 м.

На севере, в бассейне р.Магей, в низах немуйканской свиты отмечается горизонт туфов основного состава мощностью до 30-40 м, выше которого залегают лавы дацитового и более кислого состава мощностью до 60-80 м. Верхняя часть немуйканской свиты сложена серыми, лиловатыми андезитовыми порфиритами (130-150 м).

Общая мощность немуйканской свиты здесь достигает 250 м.

На водоразделе р.Чалбук в основании немуйканской свиты под андезитами порфиритами расположается линза туфов кислого состава мощностью около 50 м, аналогичных туфам выше залегающей магейской свиты.

Наблюдаемые изменения мощности немуйканской свиты, по-видимому, объясняются как неровностями донемуйканского рельефа, так и последующим ее размывом в предмагейское время.

Андрезитовые порфириты представляют собой измененные (хлоритизация, сссюритизация) порфировые породы, содержащие во вкраепленниках андезин № 42-48 (20-25%), агбит и роговую обманку. Основная масса (75-80%) имеет гиалопилитовую, пилотакситовую, реже микролитовую структуру. В отдельных случаях наблюдаются мицелины, выполненные кальцитом, кварцем и хлоритом.

Туфы среднего и смешанного состава обладают главным образом липтовитрокристаллокластической псамmitовой структурой и содержат большое количество обломков андезитовых и дацитовых порфиритов. Туфы смешанного состава содержат также обломки олигоклаза, кварца и значительно реже калиевого полевого шпата и биотита. Обломки достигают 1,5-2 см, имеют угловатую форму, иногда оплавлены. Связующая масса туфов темно-бурая и лиловая, состоит из рогулек и осколков стекла с обильной рудной пылью.

Химический состав дацита и андезита приводится в табл. I. В 1961 г. К.Г.Чешкиной в нижней части толщи пород, аналогичной по составу описываемой, в верховых р.Аркай (лист 0-53-ХХIX) была собрана флора. В.А.Вахромеевым (ГИН) был определен *Neozamites verschajojanensis* Vachr., который является одной из руководящих форм для нижнего мела Приверхоянья (Ставцев и др., 1965).

Этим определяется возраст немуйканской свиты.

Вулканогенные образования ма́гей скопишины (Сг¹т²) слагают обширное поле, занимающее около 50% всей территории листа 0-53-ХХIX, и представлены преимущественно лавами и туфами кислого и субщелочного состава. На большей площади района они залегают без видимого несогласия на образованиях немуйканской свиты. В бассейне р.Тум магейская свита срезает немуйканскую и залегает непосредственно на песчаниках энинской и кварцевых порфирах эллатской свиты.

В верховых р.Тум и левых притоков р.Маймакан выше устья р.Кундумы магейская свита сложена липтовитрокристаллокластическими туфами кварцевых порфиров - белыми, светло-серыми, зеленоватыми и розоватыми с большим количеством обломков кристаллов кварца и различных пород, среди которых преобладают среднепротерозойские кварцевые порфириты и диабазовые порфириты. В туфах присутствуют редкие невыдержаные прослои белых, светло-серых, реже желтова-тых и сиреневых туфолов кварцевых порфиритов, фельзитов, плагиопорфиров мощностью до 10, реже до 20 м, а также линзы смоляно-черных и зеленоватых обсидианов. Видимая мощность магейской свиты на этом участке около 500 м.

Несколько восточнее, в бассейне правого крупного притока р.Тум, в туфах магейской свиты отмечается постепенное уменьшение величины обломков, появляются кристаллокластические и витролакстические разности. Здесь же возрастает количество и мощность прослоев кислых лав. Видимая мощность 350-400 м.

По правобережью нижнего течения р.Тум магейская свита сложена: в нижней части туфоловами плагиопорфиров светло- и темно-коричневых, розоватых с вкраепленниками плагиоклаза, биотита,

Таблица I

Порода	Содержание окислов, вес. %													Сумма
	SiO ₂	TiO ₂	Al ₂ O ₃	Fe ₂ O ₃	FeO	MnO	MgO	CaO	Na ₂ O	K ₂ O	H ₂ O	P ₂ O ₅	П.п.п.	
Дацит	63,62	0,74	17,56	1,73	4,14	0,16	1,57	2,74	4,00	1,55	0,45	0,22	1,48	99,96
Андезин	55,92	0,64	19,72	3,21	4,07	0,19	1,99	7,66	2,97	1,32	0,60	0,50	1,25	100,04

Числовые характеристики по А.Н.Заварицкому

Порода	а	с	в	в	а'	в'	в'	с'	п	φ	т	Q	a:c
Дацит	II,0	3,3	I3,8	71,9	41,1	39,8	19,1	-	79,8	10,7	0,88	18,5	3,32
Андезин	9,2	9,6	II,4	69,8	3,5	64,3	32,2	-	77,0	21,1	0,9	II,6	0,92

реже пироксена и роговой обманки, которые чередуются с прослоями фельзитов, фельзит-порфиров и туфолов кислого состава, розового и сиеневого цвета – мощность 70–80 м; в средней части – фельзитами и фельзит-порфиром белыми, розовыми, светло-зелеными, сиеневыми фикальдальными с редкими прослойками туфов кислого состава и черных обсидианов – около 150 м; в верхней части – туфоловыми плагиопорфиром с маломощными прослойками туфов смешанного состава – 80–100 м. Видимая мощность 300–330 м.

На водоразделе рек Тум, Хоту-Олдоно и Маймакан литокристаллокластические туфы кварцевых порфиров на коротком расстоянии замещаются коричневыми лавами и туфолавами плагиопорфиров. Фельзиты и фельзит-порфир образуют среди них маломощные прослойки и линзы и лишь в самых верхах магейской свиты слагают пачку мощностью до 80 м. Общая мощность около 300 м.

В южной части водораздела рек Тум и Маймакан магейскую свиту слагают преимущественно плагиопорфир. Это серые с сиеневатым, зеленоватым, реже розоватым оттенками породы, с редкими вкраплениниками плагиоклаза и листоочками биотита. Вкраплениники обычно параллельно ориентированы. Мощность отложений 300–350 м.

На водоразделе рек Маймакан и Кундуши в магейской свите фиксируется резкое преобладание кислых аффилюзов. Здесь в пачке чередующихся фельзитов и фельзит-порфиров отмечаются редкие прослои кварцевых порфиров и плагиопорфиров. Породы окрашены в розовые, желтые и зеленые цвета. В средней части магейской свиты отмечена линза светло-желтых туфлитов мощностью до 25–30 м. Мощность отложений 150–200 м.

В южной части водораздела рек Укикан, Онгандыя и Няяракан состав магейской свиты более сложный. Здесь обнажаются (снизу вверх):

1. Липаритовые и кварцевые порфирь, фельзиты, видимая мощность около 100 м
 2. Туфы смешанного состава 120 "
 3. Коричневые с сиеневым оттенком плагиопорфирь с вкраплениниками амфибола и обломками пород, залегающие на нижележащих туфах и липаритовых порфирах и частично срезающие их 180–200 "
 4. Липаритовые порфирь, фельзит-порфирь, реже плагиопорфирь 40–50 "
- Общая видимая мощность отложений не менее 450 м. В нижней половине магейской свиты этого участка среди туфов и лав залегают пластовые тела палеогеновых долеритов и базальтов мощностью в среднем по 10–15 м.

К северу и северо-востоку от вышеописанного разреза магейской свиты, в нижнем течении р. Централан и на северной оконечности водораздела рек Маймакан и Нагим, липаритовые порфириты и туфы замещаются зелеными дацитами и дацитовыми порфиритами, видимому, представляющими собой самостоятельный лавовый поток.

Восточнее, в бассейне р. Нантингия, верхняя часть дацитового потока замещается туфами смешанного, реже среднего состава, для которых, как и для дацитов, очень характерно присутствие эпидота. Цвет туфов изменяется от темно-зеленого до почти белого со слабым зеленоватым оттенком. Видимая мощность дацитов и туфов составляет 250–300 м.

В устье р. Кира залегающие в нижней части левого склона дациты и дацитовые порфириты, видимой мощностью 120–130 м, покрыты розовато-коричневыми плагиопорфиритами мощностью 60 м. На водоразделе рек Кира и Онгтонь в основании вскрытой части разреза магейской свиты залегают эфузивы преимущественно кислого состава (300–350 м). Быше располагаются дациты и дацитовые порфириты – 60 м.

В междууречье Мукиткана и Бургали видимая часть магейской свиты почти нацело представлена лавами и туфами преимущественно кислого состава мощностью не менее 500 м.

По левобережью р. Магей, ниже устья р. Бургали, обнажаются (снизу вверх):

1. Лавы кислого состава 150–200 м
2. Дацитовые порфириты и туфы смешанного состава от 80 до 120 "
3. Плагиопорфириты коричневые и желтовато-коричневые до 130 "

Видимая мощность магейской свиты здесь – не менее 500 м.

В бассейне р. Инготильца магейскую свиту слагают (снизу вверх):

1. Светло-коричневые плагиопорфириты, переходящие в липаритовые и кварцевые порфириты, среди которых наблюдаются линзы фельзитов и обсидианов . . 120–140 м
2. Дацитовые, частично андезитовые порфириты с прослоями туфов смешанного состава около 80 "
3. Кварцевые и липаритовые порфириты с несколько более повышенной целочностью до 150 "

Общая мощность отложений – 350–400 м.

На самом северо-востоке, на водоразделе рек Ногокан и Джайлаккан, магейская свита резко уменьшается в мощности до

150–180 м. Она представлена здесь главным образом лавами, частично туфоловами кислого состава.

Характер разрезов показывает, что магейская свита отмечается значительной изменчивостью состава как по простириям, так и по разрезу. Слагающие ее вулканогенные породы не образуют сколько-нибудь выдержаных горизонтов. Пирокластический материал распределен крайне неравномерно. Дацитовые порфириты не только не имеют повсеместного развития, но очень часто перекрываются и подстилаются совершенно неравличимыми между собой лавами и туфами кислого состава, а также плагиопорфиритами. Эти данные не позволяют выделить пачку дацитовых порфиритов и плагиопорфиритов в качестве стратиграфического подразделения, так это было сделано на плосаде листа № 53-ГУ, где она выделена в верхнюю подсвиту магейской свиты (Зубков, 1962).

Липаритовые порфириты, фельзит-порфириты и кварцевые порфириты являются наиболее распространенными породами магейской свиты. Все они близки по облику и отличаются присутствием или отсутвием вкрашенников, их составом и окраской: белой, розовой, зелено-серебристой. Текстура флюидальная, тонкотолсточатая, редко массивная. В порфировых разностях вкрашенники (10–20, редко 40%) представлены олигоклазом, калиевым полевым шпатом, кварцем, биотитом, амфиболом. Основная масса сложена микролитами и мельчайшими зернами кварца, плагиоклаза, калиевого полевого шпата, серпилита, мусcovита, рудной пыли и обладает фельзитовой, микропойкилитовой, ортографитовой, гиалотилитовой, сферолитовой, аллотриоморфной и трахитовой структурами. Аксессорные минералы – циркон, ортит.

Плагиопорфириты характеризуются серебристой, серой, коричневой, розово-желтой окраской, обусловленной цветом основной массы. Вкрашенники представлены плагиоклазом и биотитом, редко пироксеном и амфиболом. Туфолововые разности содержат обломки вулканогенных пород темно-серого и серебристого цвета (до 30%). Часто в породах видна флюидальность и реже ориентированное расположение вкрашенников. Вкрашенники (15–70%) представлены олигоклазом, реже андезитом, биотитом, часто замещены хлоритом и карбонатом. Аксессорные минералы – апатит, циркон, орфен. В коричневых туфоловах плагиопорфиритов содержатся вкрашенники моноклинного пироксена и амфиболя. Обломки пород представлены плагиоклазовыми и трахитовыми порфиритами, стеклом. Основная масса содержит стекло и микролиты плагиоклаза и калиевого полевого шпата и характеризуется микролитами, трахитовыми, гиалотилитовыми структурами, часто обладает флюидальной текстурой.

Химический состав плагиопорфира (таблица) дается по одному образцу (1333е): SiO_2 - 75,88; TiO_2 - 0,86; $\text{Al}_{2\text{O}}_3$ - 12,23; $\text{Fe}_{2\text{O}}_3$ - 0,81; FeO - 1,55; MnO - 0,02; MgO - 0,29; CaO - 0,23; Na_2O - 5,04; K_2O - 2,74; H_2O - 0,36; $\text{P}_{2\text{O}}_5$ - следы, п.п.п. - 0,51, сумма - 100,42.

Числовые характеристики по А.Н.Заваричному: а - 14,3;

с - 0,3; в - 3,2; г - 82,2; а' - 20,3; г' - 66,1; м' - 13,6;

с' - 0,0; н - 73,5; ф - 22,5; т - 0,36; о - 35,5, а:с - 47,6.

Туфы кислого состава характеризуются белой, серой, розовой, сиреневой, коричневой окраской цемента (50–90%), состоящего из обломками родственных (фельзитов, плагиопорфиров, стекла) и ино-родных (кварцевых порфиров, миндалекаменных порфиров, дикалиевого полевого шпата, амфибола, пироксена, биотита, а также обломками пещечников) пород. Среди туфов выделяются витропри-зовые, редко песчаниковые породы. Среди туфов выделяются витропри-

зовые, коричневой окраской цемента (50–90%), состоящего из обломков материала. Более крупный пирокластический материал

(10–50%) представлен угловатыми обломками кварца, плагиоклаза,

калиевого полевого шпата, амфибола, пироксена, биотита, а также обломками родственных (фельзитов, плагиопорфиров, стекла) и ино-

родных (кварцевых порфиров, миндалекаменных порфиров, дикалиевого полевого шпата, амфибола, пироксена, биотита, а также обломками пещечников) пород. Среди туфов выделяются витропри-

зовые, коричневой окраской цемента (50–90%), состоящего из обломков материала. Более крупный пирокластический материал

(10–50%) представлен угловатыми обломками кварца, плагиоклаза,

калиевого полевого шпата, амфибола, пироксена, биотита, а также обломками родственных (фельзитов, плагиопорфиров, стекла) и ино-

родных (кварцевых порфиров, миндалекаменных порфиров, дикалиевого полевого шпата, амфибола, пироксена, биотита, а также обломками пещечников) пород. Среди туфов выделяются витропри-

зовые, коричневой окраской цемента (50–90%), состоящего из обломков материала. Более крупный пирокластический материал

(10–50%) представлен угловатыми обломками кварца, плагиоклаза,

калиевого полевого шпата, амфибола, пироксена, биотита, а также обломками родственных (фельзитов, плагиопорфиров, стекла) и ино-

родных (кварцевых порфиров, миндалекаменных порфиров, дикалиевого полевого шпата, амфибола, пироксена, биотита, а также обломками пещечников) пород. Среди туфов выделяются витропри-

зовые, коричневой окраской цемента (50–90%), состоящего из обломков материала. Более крупный пирокластический материал

(10–50%) представлен угловатыми обломками кварца, плагиоклаза,

калиевого полевого шпата, амфибола, пироксена, биотита, а также обломками родственных (фельзитов, плагиопорфиров, стекла) и ино-

родных (кварцевых порфиров, миндалекаменных порфиров, дикалиевого полевого шпата, амфибола, пироксена, биотита, а также обломками пещечников) пород. Среди туфов выделяются витропри-

зовые, коричневой окраской цемента (50–90%), состоящего из обломков материала. Более крупный пирокластический материал

(10–50%) представлен угловатыми обломками кварца, плагиоклаза,

калиевого полевого шпата, амфибола, пироксена, биотита, а также обломками родственных (фельзитов, плагиопорфиров, стекла) и ино-

родных (кварцевых порфиров, миндалекаменных порфиров, дикалиевого полевого шпата, амфибола, пироксена, биотита, а также обломками пещечников) пород. Среди туфов выделяются витропри-

зовые, коричневой окраской цемента (50–90%), состоящего из обломков материала. Более крупный пирокластический материал

(10–50%) представлен угловатыми обломками кварца, плагиоклаза,

калиевого полевого шпата, амфибола, пироксена, биотита, а также обломками родственных (фельзитов, плагиопорфиров, стекла) и ино-

родных (кварцевых порфиров, миндалекаменных порфиров, дикалиевого полевого шпата, амфибола, пироксена, биотита, а также обломками пещечников) пород. Среди туфов выделяются витропри-

зовые, коричневой окраской цемента (50–90%), состоящего из обломков материала. Более крупный пирокластический материал

(10–50%) представлен угловатыми обломками кварца, плагиоклаза,

калиевого полевого шпата, амфибола, пироксена, биотита, а также обломками родственных (фельзитов, плагиопорфиров, стекла) и ино-

родных (кварцевых порфиров, миндалекаменных порфиров, дикалиевого полевого шпата, амфибола, пироксена, биотита, а также обломками пещечников) пород. Среди туфов выделяются витропри-

зовые, коричневой окраской цемента (50–90%), состоящего из обломков материала. Более крупный пирокластический материал

(10–50%) представлен угловатыми обломками кварца, плагиоклаза,

калиевого полевого шпата, амфибола, пироксена, биотита, а также обломками родственных (фельзитов, плагиопорфиров, стекла) и ино-

родных (кварцевых порфиров, миндалекаменных порфиров, дикалиевого полевого шпата, амфибола, пироксена, биотита, а также обломками пещечников) пород. Среди туфов выделяются витропри-

зовые, коричневой окраской цемента (50–90%), состоящего из обломков материала. Более крупный пирокластический материал

(10–50%) представлен угловатыми обломками кварца, плагиоклаза,

калиевого полевого шпата, амфибола, пироксена, биотита, а также обломками родственных (фельзитов, плагиопорфиров, стекла) и ино-

родных (кварцевых порфиров, миндалекаменных порфиров, дикалиевого полевого шпата, амфибола, пироксена, биотита, а также обломками пещечников) пород. Среди туфов выделяются витропри-

КАЙНОЗОИСКАЯ ТРУППА

ПЛАЕОНОВАЯ СИСТЕМА

Вулканогенные породы палеогенного возраста в пределах рассматриваемой территории развиты в ряде разобщенных участков, где они залегают на различных по составу эфузивах магейской свиты. На водоразделе рек Маймакан и Кундууми палеогенные образования. На водоразделе рек Маймакан и Кундууми мезаванская свита, залегающая на различном по составу эфузивах магейской свиты, ложатся непосредственно на раннепротерозойские анортозиты. Среди палеогенных вулканогенных образований выделяются две свиты: мезаванская и согласно залегающая на ней бутинская.

Породы мезаванская свита (РБ тн) представлены главным образом базальтами и андезитами. На водоразделе рек Маймакан и Кундууми мезаванская свита разделяется на две части: нижняя сложена черными базальтами мощностью 130–150 м, верхняя – голубовато- и зеленовато-серыми роговообманковыми и автитовыми миндалекаменными андезитами мощностью около 300 м. Среди андезитов наблюдаются отдельные пласти базальтов.

Несколько восточнее, на водоразделе рек Кундууми и Укикан, в разрезе мезавансской свиты намечается три пачки (снизу вверх): черные базальты – около 70 м, темно-серые с лиловым или зелено-черным базальты – 140 м и темно-серые, зелено-черные андезито-базальты – 60–80 м.

В долине р. Маймакан, несколько ниже устья р. Нагим, мезаванская свита также имеет трехъярусное строение: нижняя часть представлена черными базальтами с подчиненным количеством лиловато-красных (окаменелых) миндалекаменных андезитов, мощностью 80–100 м; средняя – серо-зеленными и темно-серыми мелко-и крупноблочными турами основного состава с прослоями и линзами (мощностью до 5 м) темно-фиолетовых андезитов – мощностью 50 м; верхняя – черными массивными базальтами – около 100 м.

На правобережье р. Маймакан, в приступьевской части р. Мукит-кан, в мезавансской свите наблюдается частое пересланение базальтов и темно-серых андровых порфиритов, имеющих постепенные переходы. Мощность не менее 150–200 м.

На северо-востоке на водоразделе рек Ногокан и Джайланкан мезаванская свита сложена базальтами мощностью 80 м.

Мощность мезаванской свиты от 80 до 450 м.

Базальты – темно-серые, черные, зеленоватые и буроватые порфиритовые породы с вкрашенниками (10–50%): лабрадора № 50–55 (25%), титанистого авигита (до 15%), гипертектона (от 2 до 10%)

и оливина (2%). Присутствуют алатит, магнетит, реже титаномагнетит и хромит. Основная масса состоит из лейст и микролитов андезина № 40–45, зерен пироксена, продуктов лавитрификации. Акессорные минералы: титаномагнетит, магнетит, хромит, гематит.

Структура основной массы – долеритовая, дивазовая, интэрсегментальная, оффитовая, микролитовая и пилотакситовая.

Андезиты – макроскопически обычно похожи на базальты и отличаются от последних меньшим количеством темноцветных минералов и структурами основной массы. В зависимости от состава темноговообманково-авгитовые, авгитовые, фиброзные или амброзевые породы с микролитовой, гиалиновой, криптолитами андезина № 45 и мельчайших зерен авгита.

Бугинская свита (Рз бг), представленная трахитами и их туфолавами, имеет крайне незначительное распространение. Она в виде двух небольших останицов покрова сохранилась на водоразделе рек Ногокан и Дайлакан, где согласно залегает на базальтах мевачанской свиты. Бутинская свита в основании сложена серо-розовыми трахитами, которые местами содержат кварц. Выше они постепенно сменяются коричневыми трахитами со значительным (до 10%) количеством вкрашенников пироксена и амфибола. Видимая мощность около 30–40 м.

Трахиты – коричневато-, розовато-, зеленовато-серые породы, состоящие из слабо раскаристализованного стекла кислого состава, иногда со сферолитами, выполненным кальциевым полевым шпатом и хлоритом. Вкрашенники и обломки кристаллов представлены олигоклаз-андезином (50%), амфиболом (15–20%), биотитом, опалитизированным пироксеном (1–2%).

На территории листа 0-53-ХХХІУ по налеганию мевачанской свиты на матейскую устанавливается, что отложения мевачанской и бутинской свиты нижнемеловых эфузивов матейской свиты непосредственно восточнее (лист 0-53-ХХХІ) базальты мевачанской свиты отделены от нижнемеловых эфузивов угловым и стратиграфическим несогласием, знаменующим значительный перерыв в накоплении вулканогенных толщ. К этому перерыву приурочено внедрение позднемеловых интрузий, которые в районе оз. Байкаленок (лист 0-53-ХХХІ) перекрываются базальтами мевачанской свиты (Гольденберг и др., 1964).

Палеогеновый возраст мевачанской и бутинской свит устанавливается на основании тождества их петрографического состава

и стратиграфического положения с аналогичными породами Приходько. Там голща базальтов залегает на кистях эфузивах палеонтологически охарактеризованного нижнего и верхнего мела и перекрывается пачкой лав и туфов кислого и щелочного состава (веретенообразного, аналог бутинской свиты), среди которых встречаются мараганиты. Галка же марганцита была отмечена в рыхлых песчаноглинистых отложениях с юоцен-миоценовой фацией в Ланжинских горах близ Охотска (Устинев, 1952).

ЧЕТВЕРТИЧНАЯ СИСТЕМА

Четвертичные отложения представлены аллювиальными, делювиальными, эоловыми и остатками размытых ледниковых образований – эвратическихими валунами.

Широко распространенные в виде развалов, россыпей и осыпей делювиальные и эоловые глыбы, щебень, дресва имеют мощность от десятков сантиметров до 4–5 м. Их состав находится в прямой зависимости от разрушающихся коренных горных пород и отличается большим разнообразием. Делювиальные и эоловые отложения формируются и в настоящее время. Их нижний возрастной предел обусловлен временем начала формирования тех или иных участков рельефа, а поэтому может быть различным вплоть до неогена.

Ледниковые эвратические валуны сохранились на водоразделах рек Маймакан, Кундуми, Нягрокан, Нагим, Нира вблизи южной границы листа 0-53-ХХХІУ. Они представлены как местными, так и экзотическими породами: анортозитами, гранитами, гнейсами и др. Валуны хорошо отложены, их размер до 1,5 м в поперечнике, но встречаются они крайне редко. Непосредственно ниже в бассейнах названных выше рек (лист № 53-ІІ) отмечается широкое развитые ледниковых отложений среднечетвертичного оледенения (Зубков, 1962).

На карте показаны лишь аллювиальные отложения; делювиальные и эоловые образования из-за малой мощности с геологической карты сняты.

В е р х н е ч е т в е р т и ч н ы е о т л о ж е н и я (ЧЧІІ)

К верхнечетвертичным относятся аллювиальные отложения высокой (12–25 м) надпойменной террасы, прослеживающиеся на небольших участках в долинах р. Маймакан и ее крупных притоков: рек Магей, Нагим, Кундуми, Тум, Кира, Ольондо и Чад.

Наиболее полно верхнечетвертичные отложения изучены в обрыве высокой надпойменной террасы по левобережью р. Кундуми, в 4,5 км выше устья р. Уникан, где сверху вниз обнажается:

1. Почвенный слой	0,3 м
2. Песок грубый с большим количеством гравия, гальки, реже валунов	1,0 "
3. Песчанистый галечник с валунами	8,7 "
4. Плохоокатанные глыбы и валуны, скелетированные песком с галькой	2,0 "
5. Плохо отсортированная галька, валуны, слабоокатанные глыбы, скелетированные песком и гравием - видимая мощность	5,0 "
Аналогичный состав имеют отложения высокой надпойменной террасы и в других участках района; их видимая мощность редко превышает 20 м. Большое количество валунного материала, входящего в состав аллювия этой террасы, указывает на то, что последний в значительной мере образовался за счет размыва и перемыва ледниковых отложений.	
В спорово-пыльцевых спектрах из отложений высокой надпойменной террасы р.Кундуми преобладают споры <i>Selaginella sibirica</i> , <i>Lecanodiscus arvensis</i> пыльца <i>Equisites</i> и разнотравье, указывающие на суровые климатические условия формирования этих отложений. В отложениях 15-25 м надпойменной террасы р.Учур (лист 0-53-ХХУ), содержащих аналогичный спорово-пыльцевой спектр, В.В.Скотаренко были обнаружены зубы <i>Mammutthus primigenius</i> (Виль.) позднего типа (Гамалея и др., 1964ф). Это позволяет датировать аллювий описанной террасы верхнечетвертичным временем X.	

С о в р е м е н н ы е о т л о ж е н и я (Q_{IV})

К современным отложениям относится аллювий низкой надпойменной террасы и поймы, которые на геологической карте даются нерасчлененными, так как редко наблюдается уступ, отделяющий пойму от низкой надпойменной террасы. Аллювий низкой террасы, имеющей высоту от 6 до 10 м, представлен главным образом песками, гравием и галечниками, реже валунами. Состав обломочного материала для крупных рек отличается значительным разногабаритием и присутствием экзотических пород: гнейсов, амортозитов, гранитов и др. По притокам же обломочный материал представлен местными породами.

X/ К северо-востоку от описываемой территории, в пределах хр.Джугджур развиты и более древние четвертичные отложения (Ставицкий 1964ф). Не исключена возможность, что фрагменты этих отложений есть и на описываемой территории, но современный полевой материал не позволяет говорить об этом конкретно.

Разрез низкой надпойменной террасы р.Мукиткан близ устья следующий:

1. Почвенный слой	0,2 м
2. Суглинок иловатый и супесь желтого цвета	0,2 "
3. Супесь, песок с примесью гравия и гальки размером до 3,5 см	1,6 "
4. Песок серовато-желтый, галька эфузивных пород, размер гальки до 8 см, содержание до 50%	0,3 "
5. Галечник с обломками и валунами, в промежутках песок, размер обломков до 12 см, видимая мощность	0,2 м

Видимая мощность аллювия не превышает десяти метров, обычно составляет несколько метров.

В отложениях, слагающих пойму, хорошо различаются русловая, пойменная и старичья фации. Русловая фация сложена песком, гравием, галькой, реже валунами и слабоокатанными глыбами; пойменная — песками, супесями; старичная — глинами и илами. Последние залегают в виде линз и замещаются по простирию песками пойменной фации. Мощность отложений, слагающих пойму, редко превышает 5 м.

Аллювий низкой надпойменной террасы и пойменные отложения обычно слагают центральные части днища долин и нередко прислонены к отложениям высокой надпойменной террасы.

В связи с тем, что отложения низкой надпойменной террасы и поймы в верховьях рек Улески и Батомги (лист 0-53-ХХУ), которые так же, как и р.Маймакан, принадлежат бассейну р.Мая, вложены в морены горно-долинного верхнечетвертичного оледенения (Гольденберг и др., 1964ф) и содержат споры и пыльцу древесной растительности умеренно-холодного климата, они относятся к современным образованиям.

ИНТРУЗИВНЫЕ ОБРАЗОВАНИЯ

Интрузивные породы отличаются разнообразием состава, временем внедрения и формой тел. Среди них по возрасту выделяются протерозойские, палеозойские, меловые и палеогеновые интрузии.

РАННЕПРОТОЗОЙСКИЕ ИНТРУЗИИ

А н о р т о з и т и м г а б б р о - а н о р т о з и - т и м (U_{SP_1}) обнаруживаются в долине р.Маймакан, выше устья р.Нимар, где вскрыта краевая часть Джугджурского амортозитового plutона. Строение plutона на сопредельных площадях сложное, обусловлен-

ное зональным расположением разнообразных город основного ряда.

На плодородии листа 0-53-ХХХ в восточном направлении анортозиты сменяются габбро и габро-норитами, на листе 0-53-ХХХ анортозиты центральной части плутония сменяются в краевых частях плагиоклазитами (Гольденберг и др., 1964ф; Гамалея и др., 1964ф).

Строение плутония в пределах описываемого района остается неизмененным из-за плохой обнаженности: наблюдаются лишь отдельные крупные глыбы анортозитов и габро-анортозитов. Повсеместно они очень однообразны по составу и структуре. В них не наблюдалось никакой ориентировки и широких обособлений.

Анортозиты и габро-анортозиты характеризуются серой, зеленоватой, реже голубоватой окраской и крупно-среднезернистым сложением. Размер зерен от 0,5 до 1,5 см. Они состоят из лабрадора № 55-62 с полисинтетическими двойниками, иногда присутствует пироксен (до 3%), замещенный актинолитом. В габбро-анортозитах пироксена больше, до 5-10%. Пироксены выполняют промежутки между зернами плагиоклазов и расположены неравномерно, кучно. Рудные минералы — ильменит и магнетит — до 3%.

С породами анортозитового комплекса связаны пропилиты медно-никелевой минерализации, известные на смежных территориях (Зубков, 1962).

Возраст анортозитов устанавливается как раннепротерозойский на основании того, что непосредственно западнее (лист 0-53-ХХШ) они прорываются среднепротерозойскими гранофирами гранитами с абсолютным возрастом 1900-1960 млн. лет (Гамалея и др., 1964ф). Абсолютный возраст анортозитов — 2250 млн. лет, по апатиту изотопическим методом (Тугаринов и др., 1965).

П л а г и о г р а н и т (12-Рт₁) слагают южную часть

Утукаундзинского массива, основная часть которого расположена

на плодородии листа 0-53-ХХШ (Филичев И.И. и др., 1964ф), а также более мелкие тела на левобережье р. Маймакан и правобережье

р. Магей. Последние имеют неправильную вытянутую согласно про-

стианию вмещающих пород форму, их площадь составляет несколько квадратных километров. Переходы от интрузивных пород к вмещающим выражаются зонами (ширина до 2-3 км) мигматизации в по-

ледних, что обуславливает отсутствие резких контактов и распыльв-

чатость границ между теми и другими. Массивы плагиогранитов

характеризуются неоднородностью состава, выраженной в неравно-

мерном распределении темноцветных компонентов. Внутри массивов

отмечаются многочисленные линзы и полосы различной ширины и протяженности плагиогнейсов. Они субпараллельны и имеют ориен-

тировку, согласную с простиранием вмещающих пород.

Плагиограниты — серые, розоватые средне-равномерно-сернистые породы, обычно полосчатые, гнейсовидные. Они состоят из андезина (50-70%), кварца (25-40%), калиевого полевого шпата — 5%, акессорных минералов: апатита, циркона, сфена, магнетита, монацита, ортита. Вторичные минералы: серпентит, соссюрит, пре-нит, хлорит, лейкоксен. Структура основной массы — гипидроморфозернистая с переходами к бластогранитовой. Обычно отчетливо выражен идиоморфизм плагиоклаза относительно других минералов. Плагиограниты нередко постепенно переходят в гранодиориты, но никакой закономерности их распределения в массивах не наблюдается.

Генезис плагиогранитов, по-видимому, связан с процессами гранитизации (ультраметаморфизма). Раннепротерозойский возраст плагиогранитов определяется их тесной связью с вмещающими нижнепротерозойскими метаморфическими образованиями и перекрытием их с разновременными среднепротерозойскими вулканогенно-осадочными отложениями элгэтайской свиты.

М и к р о к л и н о в ы е г р а н и т ы (12-Рт₁) на водоразделе рек Малей и Верх. Дэвикон (последняя находится на территории листа 0-53-ХХШ) слагают краевую часть небольшого массива, имеющего неправильную изометричную форму. Они залегают в метаморфических образованиях одолинской свиты и прорывают раннепротерозойские плагиограниты.

Микроклиновые граниты представляют собой розовые, красные, мелко-, среднезернистые породы, состоящие из плагиоклаза (30-40%), микроклина (25-30%), кварца (15-20%), биотита и роговой обманки — до 10%; акессорные — сфеен, апатит, циркон, магнетит и рутил.

В зоне контакта микроклиновых гранитов с гнейсами развиты мигматиты, а с плагиогранитами — наблюдается микроклининизация, тирина ореолов измененных пород достигает первых сотен метров.

По представлению А.Л. Ставцева и др. (1965ф), образование микроклиновых гранитов, по-видимому, связано с активными метасоматическими процессами, которые наложились на все разновидности нижнепротерозойских метаморфических пород и в наивысшей степени проявилась на локальных участках, возможно, вблизи различных нарушений.

Тесная связь микроклиновых гранитов с вмещающими нижнепротерозойскими метаморфическими образованиями, наблюдавшаяся на территории листа и к северу от него, позволяет уверенно считать их раннепротерозойскими.

Пегматиты и пегматоидные граниты на карте не показаны.

Среди метаморфических образований и раннепротерозойских плагиогранитов встречаются немногочисленные секущие и согласные жилы пегматитов и пегматоидных гранитов. Мощность таких жил - 1-2 м, изредка - 18 м, протяженность их изменяется от 5 до 60 м.

Пегматиты характеризуются крупно-реже гигантозернистым строением. Соотношение кварца и полевых шпатов - от 1:1 до 1:2, иногда присутствует среднечешуйчатый, редко образующий кристаллы (до 5 см) биотит. Встречаются мусковитоносные разности. Из акцессорных минералов в пегматитах присутствуют: гранат, монацит, циркон, апатит, гематит, редко ортит, магнетит, сфен, ксенотим.

В пределах территории листа с раннепротерозойскими пегматитами связано месторождение мусковита и ореол редких земель. Образовались пегматиты, очевидно, в результате гранитизации одновременно с формированием плагиогранитов.

Пегматоидные граниты представляют собой красные и розовые крупно- и гигантозернистые породы. Нередко центральные части жил сложены монолитным молочно-белым или голубовато-серым кварцем. Пегматоидные граниты, по всей вероятности, образовались в метасоматических процессах, что генетически сближает их с микроклиновыми гранитами.

СРЕДНЕПРОТЕРОЗОЙСКИЕ ИНТРУЗИИ

Интрузии среднепротерозойского возраста пользуются ограниченным распространением. Среди них выделяются группы пород основного и кислого состава.

Лиабазит, габбролиазит (Mg/Fe_2), таббролиазит (Mg/Fe_2) слагают несколько небольших массивов, прорвавших элгетскую свиту, а также два крупных ксенолита в среднепротерозойских гранит-порфирах.

Наиболее крупный массив, основная часть которого расположена западнее на сопредельной территории листа 0-53-ХХIII, имеет вытянутое в северо-восточном направлении форму. В пределах территории листа, в бассейне р. Одондо его площадь достигает 11-12 км². Массив сложен преимущественно средне- и крупнозернистыми габбро, нередко лейкократовыми, которые в краевой части постепенно переходят в габбро-диабазы.

Другой массив располагается в 4 км восточнее описанного в среднем течении р. Одондо. Он имеет изометричную округлую форму и достигает 2 км. Этот массив в центральной частиложен

преимущественно габбро-диабазами темно-зелеными крупнозернистыми, с включениями крупных редких хорошо ограниченных кристаллов плагиоклаза размером до 12 см по длиной оси. В краевой части массива габбро-диабазы сменяются темными среднезернистыми диабазами. Два небольших (до 0,5 км²) почти изометричных массива расположаются на правобережьях р. Одондо и р. Нимар. Они сложены диабазами темными, зеленоватыми, от крупно- до мелкозернистых, иногда с шаровой отдельностью.

Располагающиеся в краевой части массива среднепротерозойских гранит-порфиров на водоразделе рек Нимар и Сыганда два ксенолита имеют размеры до 0,6 км². Более крупный из них сложен диабазами темно-зелеными, среднезернистыми; меньший - светло-серыми, зеленоватыми крупно- и грубозернистыми лейкократовыми габбро, значительно рассланцованными в краевой части.

Среднепротерозойские габбро-диабазы и диабазы сложены андезином или лабрадором (60-80%), агбитом (15-25%), роговой обманкой (до 25%), редко встречается биотит. По плагиоклазу разбивается серцит, скалолит, хлорит, биотит, эпидот. Агбит обычно замещен биотитом, хлоритом, пенинитом, эпидотом, кальцитом, ураниловой роговой обманкой. Роговая обманка обыкновенная, реже базальтическая, вместе с пироксеном выполняет промежутки между зернами плагиоклазов и темноцветных зашлаков, кварцем, хлоритом. Ильменит образует отдельные иглы, встречается магнетит, иногда до 5-6%. Структура ойтовая.

Границы с характеризованных пород с вмешанными - резки. Экзоконтакт с кварцевыми порфирями элгетской свиты в зоне шириной до 20 м отмечается темно-серые и зеленые породы с портландовой структурой и фенокристаллами плагиоклазов до 10 см по длиной оси.

Габбро-диабазами и габбро присуще проявление железистой и гипновой минерализации, однако никаких застуживающих явленийрудообразований обнаружено не было.

Возраст габбро, габбро-диабазов и диабазов определяется следующими фактами. В пределах описанного района они рурут элгетской свиты среднего протерозоя. В верховых р. Прев. Генуда (лист 0-53-ХХIII) аналогичные породы прорываются жилами среднепротерозойских гранофировых гранитов (Гамалея и др., 1964). Этим определяется возраст габброидов как среднепротерозойский.

Улканский комплекс

В пределах территории листа 0-53-XXXIV распространена лишь часть ранее относимых к улканскому комплексу интрузий, причем гипабиссальные разности – гранит-порфирь связаны постепенными переходами с гранофирами гранитами.

Гранит-порфирь (Pt_2). На право- и левобережье р.Маймакан, вблизи устья р.Нимар, обнажается лишь небольшая северо-восточная часть Южно-Учурского массива среднепротерозойских гранитов, сложенная гранит-порфирями. Южно-Учурский массив имеет вытянутую в широтном направлении форму и достигает более 120 км по протяженности и до 15 км в поперечнике. С севера массив ограничен широтным разломом, который отделяет его от выходов пород элгетской свиты, на юге он имеет интрузивный контакт с амортозитами (Гамалея и др., 1964ф) или перекрыт туфами и порфиритами неулканской свиты. В пределах рассматриваемой территории массив характеризуется однородным строением и сложен преимущественно гранит-порфирями. Центральные участки массива, расположенные защищее (лист 0-53-XXXI), сложены гранофирами гранитами и граносиенитами. Вблизи амортозитов на правобережье р.Сыганджи гранит-порфирь в зоне шириной до 3 км полностью переходит в гранодиориты, которые, по-видимому, являются эндоконтактовой фацией.

Гранит-порфирь красные равномернозернистые породы, состоящие из альбитизированного нерешетчатого калиевого полевого шата (60–70%), кварца (20–25%), альбита, роговой обманки – до 8%, биотита – до 5%, отмечаются рибекит, циркон. Альбит присутствует в небольшом количестве – до 10%. Кварц в прорастании с калиевым полевым шпатом образует зерна неправильных очертаний. Роговая обманка актинолитизирована и замещена красным железистым биотитом, хлоритом – пенинном и эпидотом. Биотит замещен пенинном, эпидотом и рудным. Последний представлен ильменитом, гематитом, лимонитом. Структура – микрогранитовая, микролитовая, гранофирированная.

Гранодиорит состоит из калиевого полевого шата (20–25%), плагиоклаза (30–50%), роговой обманки (5–10%), кварца (25%). Рудные минералы – гематит, лимонит; акцессорные – сфен. Структура породы – монцонит-диоритовая и гранитовая. Эндоконтактовые изменения, вызванные гранит-порфирями, выражаются в том, что диабазы, диабазовые порфириты и туфы основного состава элгетской свиты раскисляются, т.е. при сохра-

нении огнестойкой структуры переходят в кварцевые разности, при этом их цвет меняется с черного зеленовато-серого на коричнево-серый, а темноватые – роговая обманка и пироксен замещаются хлоритом и актинолитом. В составе основной массы, обычно представляющей собой мезостазис хлорита по стеклу с небольшим количеством кварца, появляется значительное количество микропегматитового агрегата кварца и калиевого полевого шата, мелких новообразованных зерен роговой обманки и идиоморфных зерен плагиоклаза.

Химический анализ измененных диабазов из бассейна р.Нимар показал следующие содержания компонентов (%): SiO_2 – 52,57; TiO_2 – 1,54; Al_2O_3 – 22,00; Fe_2O_3 – 0,96; FeO – 5,40; MnO – 2,26; CaO – 7,25; Na_2O – 2,42; K_2O – 1,36; H_2O – 0,20; P_2O_5 – 0,23; п.п.п. – 3,12; сумма – 99,31. Числовые характеристики по А.Н.Заварикову: а – 7,48; с – 8,97; б – 15,65; с – 67,90; а' – 32,3; г' – 41,9; м' – 25,8; с' – 0; п – 73,8; ф – 5,5; т – 2,1. Породы отвечают кварцевым габбро по Р.Дэни.

Вдоль Нимарского разлома, ограничивающего Южно-Учурский массив с севера, в эндоконтактово-измененных диабазах и диабазовых порфиритах элгетской свиты встречаются порфиритовые породы, в которых 20–30% составляет зеленовато-белое хорошо ограниченные кристаллы плагиоклаза, достигающие в длину 6 см, а в отдельных случаях 40 см. Ширина зоны эндоконтактовых изменений достигает 300–500 м.

Среднепротерозойский возраст гранит-порфиров улканского комплекса устанавливается в смежных районах. На территории листа 0-53-XXXIII они прорывают раннепротерозойские амортозиты и эфузивы элгетской свиты (Гамалея и др., 1964ф); в районе горы Томтокаан (лист 0-53-XXXI) обломки гранитов, аналогичных гранофирированным гранитам Южно-Учурского массива, были встречены в гальке базального горизонта энинской свиты верхнего протерозоя (Филиппов и др., 1963ф).

ПОЗДНЕПРОТЕРОЗОЙСКИЕ ИНТРУЗИИ

Позднепротерозойские интрузии включают в себя две группы пород. К первой относятся диабазы, магнезиалакменные диабазы, диабазовые и плагиоклазовые порфириты; ко второй – дуниты и перидотиты.

Диабазы, миндалевидные диабазы, диабазы и плагиоклазовые порфириты (Pr_3) развиты в бассейне р.Эльдому и на

водоразделах рек Ногокан – Солончакья – Солья, Ганк – Чалбук, где они образуют пластовые залежи (силлы) в гонамских песчаниках.

Силлы диабазов и диабазовых миндалекаменных порфиритов имеют мощность от 30 до 100 м и значительную (до 10 км) протяженность. Строение силлов обычно сложное. Они состоят из неско-лких параллельных пластовых тел, отличающихся по составу и структурам пород. Более мощные пластовые тела нередко в нижней части сложены плотными зернистыми диабазами и диабазовыми порфиритами, выше в них появляются миндалини, количество которых возрастает к кровле.

По внешнему облику, составу, структурным и текстурным особенностям, а также широкому развитию процессов вторичной минерализации (хлоритизации, уралитизации) и миндалекаменных текстур верхнетретерозойские диабазы практически не отличаются от диабазов и порфиритов элгэтэйской свиты, в связи с чем их петрографическая характеристика здесь не приводится.

Эзоконтактовые изменения в висячем боку диабазов выражаются в потемнении, слабом ороговиковании и серицитизация песчаников гонамской свиты. Ширина зоны этих изменений не превышает первых метров, а обычно менее 1 м. На водоразделе рек Солончак и Ногокан аналогичные эзоконтактовые изменения наблюдались в подошве гонамских конгломератов.

На территории листа О-53-ХХХII диабазы и диабазовые порфи-риты прорывают песчаники гонамской свиты. Верхний возрастной предел определяется на основании того, что в бассейнах рек Бол.

Джалагда и Натотчу (лист О-53-ХХIX) даек и небольшое тело аналогичных миндалекаменных диабазов с разрывом перекрываются песчаниками энгинской свиты (Ставцев и др., 1964). Это позво-ляет считать их верхнетретерозойскими.

Рудопроявления, связанные с верхнетретерозойскими диаба-зами, не установлены.

Д у н и т ы, п е р и д о т и т ы (σ_{Pt_2}) в бассейне р. Чад слагают изометрический в плане массив размером 3,5x3 км, образую-щий в рельфе хорошо выраженный цирк. Строение массива концен-трически-зональное. Ядро его диаметром 2 км сложено дунитами и окружено кольцом перидотитов шириной от 200 до 500 м. Во внешней части массива полукольцом развиты нижнечемовые габбро-дио-риты и диориты. Кроме того, совсем небольшое (200x300 м) тело дунитов расположено на правобережье приусадебной части р. Магей. Дуниты – желтовато-зеленые и темно-зеленые мелко- и сред-незернистые породы, сложенные оливином (80–90%), серпентином,

(5–15%) и зернами хромита. В хромите преобладают анализы обна-руженна платина. Структура аллотриоморфозернистая, редко пе-тельчатая. По зернам оливина развивается хризотил. В дунитах на правобережье р. Магей оливин почти нацелен хризотилом. Периодиты – зеленые, темно-зеленые, почти черные средне-и крупнозернистые породы, состоящие из авгита, реже энстатита (60–70%), оливина (30–40%), хромита – до 1%, чаще редкие зерна. При переходе от внутренней части периодитового колыда к внешней облик пород закономерно меняется: крупнозернистые структуры сменяются малозернистыми, постепенно усиливается интенсивность окраски (зеленый цвет сменяется черным) и появляются широковые и струйчатые выделения титаномагнетита.

С дунитами и перидотитами связаны платина и титаномагнетит. По своему строению и составу пород Чадский массив аналогичен Кондескому. Оба они развиты на юго-восточной окраине Ал-данского щита. Отделения абсолютного возраста ультраосновных пород ядра Кондеского массива калий-аргоновым методом дают цифры 660 млн. лет; определения, выполненные по диоритам Чадско-го и щелочным породам Кондеского массивов, дают цифры 90–155 млн. лет (Ельянов, Моралев, 1961; Богомолов, Кипул, 1964). Приведенные данные показывают, что Чадский массив, как и Кон-деский, сложен двумя разновозрастными интрузиями: ультраоснов-ные породы ядра являются позднетретерозойскими, а диориты и габбро-диориты внешней зоны – раннемеловыми.

ПАЛЕОЗОЙСКИЕ (?) ИНТРУЗИИ

Д и а б а з ы и к в а р ч е в ы е д и а б а з ы ($\beta u_{Rz?}$) образуют два небольших штоки размером до 1 км², распо-лагаемых на левобережьях рек Чад и Сыганаки, в бассейне р. Чад и в нижнем течении р. Магей – несколько круглоглающих даек. Даек имеют субмеридиональное простирание, их мощность не превы-шает 40 м, протяженность 2 км.

Контакты диабазов с вмещающими породами – гнейсами и кристаллическими сланцами нижнего протерозоя, а также с гранито-дами нижнего и среднего протерозоя – резкие. Эзоконтактовые изменения выражаются в слабом уплотнении вмещающих пород.

Диабазы представляют собой серые, серо-зеленые, темно-зе-леные и черные мелко- и среднезернистые породы, иногда порфиро-видные. Они состоят из андезин-лабрадора (50–60%), авгита (45%), ильменита (5–10%). В интерстициях находятся полевой шпат, эпидот, хлорит.

Рудообразований, связанных с диабазами, не установлено.

Возраст диабазов устанавливается на основании того, что к северу, за пределами района, в бассейне р.Мак, небольшие тела и дайки аналогичных по составу диабазов прорывают кембрийские и силурийские осадочные отложения и никогда не затрагивают верхнекаменноугольные образования (Шпак и др., 1962). Наряду с этим в пределах хр.Челат В.А.Самозванцев и А.Г.Лосев указывают на присутствие пластовых тел аналогичных диабазов в осадочных породах верхнего протерозоя, включая нижнюю подсвиту канадской свиты и нахождение обломков их в песчаниках верхней подсвиты канадской свиты и устькибинской свиты. Поэтому диабазы и отнесены к палеозойским условно.

РАННЕМЕЛОВЫЕ ИНТРУЗИИ

Раннемеловые интрузии представлены в подавляющем большинстве породами кислого состава, слагающими субпластовые тела, серию мелких даек и очень мелкие штоки. Преобладают пластины порфирь, фельзит-порфирь, квазарцевые порфирь (плагиопорфирь). Гранит-порфирь встречается реже.

Кварцевыми порфирями и фельзит-порфирями в бассейне р.Челат сложено субпластовое линзообразное тело протяженностью до 15 км и мощностью от 50 до 600 м, приуроченное к границе гонамских и энинских песчаников. Кварцевые порфирь слагают центральную часть тела, фельзит-порфирь — тяготеет к краям. Здесь же наблюдаются картирующиеся пластины песчаников гонамской и энинской свит, залегающие в ксенолитах, ориентированных параллельно контакту.

Кварцевые порфирь и фельзит-порфирь — белые и светло-серые породы, состоящие из вкрапленников (5-20%) и основной массы (80-95%), сложенной кварцем, калиевым полевым шпатом, плагиоклазом и биотитом и имеющей микролойкилитовую и фельзитовую структуру. Вкрапленники состоят из дымчатого биотитандального кварца и калиевого полевого шпата. Аксессорные минералы циркон и ортит.

Химический состав кварцевых порфирор (Б) из бассейна р.Челат определен по одному образцу (13II/5): SiO₂ - 75,48; TiO₂ - сл.; Al₂O₃ - 13,68; Fe₂O₃ - 0,27; FeO - I, II; MnO - 0,10; MgO - 0,32; CaO - 0,50; Na₂O - 4,31; K₂O - 3,50; H₂O - 0,27, P₂O₅ - 0,23; п.п. - 0,56; сумма - 100,33. Пересчет числовых характеристик

по А.Н.Заваринскому показывает: а - 13,8; с - 0,59; в - 3,71; в - 81,90; а' - 54,3; г' - 33,2; м' - 12,5; с' - 0; п - 0,65; φ - 5,2; т' - 0; q - 35,47; а:с - 23,4.

Плагиопорфирь слагают большей частью маломощные пластовые тела и дайки, расположенные как вблизи массива кварцевых порфирор, так и вдали от него, мощность даек до 20 м, протяженность — до 300 м. Для плагиопорфирор, в сравнении с кварцевыми порфирорами, характерны более темные, часто зеленоватые тона.

Экзоконтактные изменения во вкрапленниках плагиоклазов и большое количество биотита.

Экзоконтактные изменения во вкрапляющих породах выражены слабо: гонамские и ютинские песчаники в узкой (2-3 м) полосе лишь слабо уплотнены, алевролиты и аргиллиты энинской свиты вблизи контакта в зоне шириной 100-200 м осветляются и внешне становятся похожими на фельзиты.

Все рассмотренные породы по петрографическому составу, структурным и текстурным особенностям близки соответствующим эфузивным породам магейской свиты. Наличие разностей кварцевых порфирор, состоящих из стекловатой массы зеленого цвета с отдельными кристалликами кварца и являющихся переходными к эфузивным кварцевым порфирорам, также подтверждают это сходство. Пластовая и дайковая форма тел позволяет рассматривать описание интрузивные породы как гипабиссальные образования, синхронные нижнемеловым эфузивам магейской свиты. Косвенным доказательством их нижнемелового возраста является то, что никогда не наблюдалось прорывания этими интрузиями пород более молодых, чем нижнемеловые.

Джульгарский комплекс

Интрузии джульгарского комплекса пользуются весьма ограниченным распространением. Они образуют ряд мелких штоков, расположенных как среди средне- и верхнепротерозойских и кембрийских эфузивных и осадочных отложений, так и среди вулканогенных пород магейской свиты. Восточнее, на территории смыкаемых листов 0-53-XXXI и 0-53-XXXII (Гольденберг и др., 1964) в составе джульгарского комплекса выделяются три фазы. На территории данного листа развита интрузии лишь двух первых фаз. Первая фаза представлена диоритами и габброидами, вторая — кварцевыми диоритами и диоритами. На площади листа характер взаимоотношений между породами различных фаз не установлен, но восточнее в бассейне р.Батги (Гольденберг, 1964) аналогичные по составу

породы имеют четкие резкие контакты, чем и доказывается их принадлежность к различным фазам.

Диориты, габбро-диориты, габро-
($\delta_{\text{Ст}^1 d_1}$) образуют полукольцевую трещинную интрузию, расположившуюся по периферии штоки позднепротерозойских ультрабазитов Чадского массива. Протяженность этого тела достигает 6 км при ширине до 1 км. Полукольцевое тело сложено преимущественно габбро и лишь краинки восточная эндоконтактовая часть представлена диоритами, которые связаны с габро постепенными переходами. Кроме того, небольшие штоки (до 500x300 м) диоритов и габбродиоритов находится в непосредственной близости от Чадского массива к северу и юго-востоку от него среди пород алгейской, гончанской и энинской свит. Штоки имеют круговые контакты.

Диориты – это светло-серые и темно-серые мелко- и среднезернистые породы, состоящие из андезина № 34-40 (45-50%), непрелетчатого калиевого полевого шпата (10%), аугита (35%), кальцита (3-10%), биотита (3-15%). Аугит – зональный, замещенный актинолитом и темно-зеленой роговой обманкой. Аксессорный минерал – апатит, рудные – магнетит, титаномагнетит. Химический состав диоритов (в %): SiO_2 – 54,26; TiO_2 – 1,34; Al_2O_3 – 17,39; Fe_2O_3 – 2,11; MnO – 5,97; MgO – 0,14; MnO – 3,22; CaO – 7,09; Na_2O – 3,95; K_2O – 3,03; H_2O – 1,03; CO_2 – 0,29; сумма – 99,82 (Богомолов, Кипул, 1964).

Габбро – темно-серые массивные породы с пятнистой текстурой мелко- и среднезернистые, с резко меняющимися количественными соотношениями пироксенов и плагиоклазов. В зависимости от этого наблюдаются переходы от пироксенитов, образующих шлировые обособления, до габбро, в которых постепенно к краевой части массива содержание плагиоклаза увеличивается до 50% и появляется биотит. Пироксен в габброидах ромбический и моноклинный, плагиоклаз ряда лабрадора. Структура габбровая, наблюдаются отдельные участки с пойкилитовой структурой. М.А.Богомолов и В.И.Кипул (1964) указывают на то, что габбровые породы являются эндоконтактовой фацией диоритовой интрузии. Они одновременно имеют постепенные переходы к диоритам и периодитам. Экзоконтактовые изменения вблизи диоритов выражаются в ороговиковых алевролитах и мелкозернистых кварцевых песчаниках гончанской и энинской свит, в послойном обогащении их магнетитом, вторичным мелкозернистым биотитом, цирконом, кордиеритом, силлиманитом, в появлении полосчатых роговниковых структур. Ширина зоны измененных пород достигает десятков, реже первых сотен метров.

Абсолютный возраст диоритов 160 млн. лет (калий-аргоновый метод по биотиту, определение А.И.Тугаринова, ГЕОХИ). На основании этого М.А.Богомолов и В.И.Кипул считают их раннемеловыми и относят к комплексу белочных и щелочноzemельных пород Алданского щита. Однако эта точка зрения не является единственной. Интрузии алданского комплекса разведены в более западных и северных районах Алданского щита, удаленных от описываемой территории на 200-300 км. Для них характерна гипабиссальная разности более средних и цепочных по составу пород: от диоритов до двинитовых и андезитовых перфиритов, а также сиенит-диоритов и сиенитовых порфиритов. Они образуют крупные штоки и многочисленные отходящие от них пластовые тела. Породы, слагающие полукольцо Чадского массива и ряд мелких штоков, имеют иной состав: от диоритов до габбро, которые типичны для первой фазы интрузий Чадгурского комплекса. Территория листа 0-53-ХХХ распадается вблизи зоны широкого развития интрузий Чадгурского комплекса, для которых не типично образование пластовых тел. Это позволяет относить описанные выше габбро и диориты не к алданскому, а к Чадгурскому комплексу, возраст которого также раннемеловой, но более поздний.

В 1959 г. Е.Г.Жуковой в юго-западной внешней части Чадского массива среди габбро-диоритов на площади в несколько квадратных метров были обнаружены мраморовидные белые среднезернистые породы с гранобластовой структурой, сложенные на 55-60% карбонатом и на 40-45% серпентином, в небольшом количестве в них присутствует апатит. Эти породы были подробно изучены М.А.Богомоловым и В.И.Кипулом (1964), которые относят их к породам кластических жил, образовавшихся за счет выклинивания из глубины метаморфических карбонатных пород фундамента при внедрении интрузий.

Диориты и кварциты диориты ($\delta_{\text{Ст}^1 d_1}$) слагают несколько небольших округлых в плане штоков площадью не более 0,5 км², которые расположены в бассейнах рек Эльдому, Хоту-Одондо и на правобережье р.Кира. Диориты и кварцевые диориты представляют собой светло- и темно-серые мелко- и среднезернистые породы, состоящие из андезина № 34-37 (65-80%), аугита (до 30%), биотита (3-15%) и кварца (5-10%), непрелетчатого калиевого полевого шпата (5%); вторичные минералы – зерцит, кальцит, мусковит, альбит, хлорит; из аксессорных отмечены апатит, из рудных – магнетит. Калиевый полевой шпат пелитизирован, выполняет промежутки между зернами. Структура пород гранитическая, реже гранитовая. Конкавные изменения

вымещающих вулканогенных пород выражаются в роговикении, появлении турмалина, обогащении биотитом, появлении глинистых роговиковых полосчатых текстур, а также в окварцевании. В эзоконтакте диоритов с доломитами Юломской свиты отмечается пиритизация. Ширина зоны эзоконтактовых изменений обычно не превышает десятков метров.

С интрузиями джутджурского комплекса связаны проявления полиметаллической, золотой, в меньшей мере молибденовой, вольфрамовой и медной минерализации.

Диориты джутджурского комплекса в устьевой части р.Киры прорывают эфузивы магейской свиты нижнего мела. В районе р.Нель-даль (лист 0-53-ХХХ) гранитоиды джутджурского комплекса прорывают и метаморфизуют континентальный мерионит-кварцит, возраст которых установлен в бассейне р.Удахан по флюре (Гольденберг и др., 1964). В бассейне р.Сев.Уй (лист 0-54-ХШ) интрузии джутджурского комплекса перекрываются эфузивно-теригенными образованиями, возраст которых определен по спорам и пильце как низы верхнего мела (возможно, сеноман-турон) (Ставцев и др., 1960). На основании этих фактов устанавливается поздненижнемеловой возраст джутджурских интрузий.

ПАЛЕОГЕННЫЕ ИНТРУЗИИ

Д о л е р и т ч, б а з а л ъ т ы и а н д е з и т ы (μ_{Fe} , **д и о р и т ы** (δ_{Fe})) появляются широким распространением на всей площади листа. Они образуют небольшие массивы (до 1-1,5 км²), даики и пластовые тела (силлы) среди доломитогенных образований. Массивы встречаются на водоразделах рек Солончаки, Негрокана, Коккинкан - Чалбука, Коккинкан - Ингоялька, на левобережьях рек Тума, Олondon и в ряде других мест. Они имеют неправильную округлую, реже вытянутую форму. Пластовые тела наблюдаются также в различных участках района, но особенно широко развиты вблизи поля эфузивов мезачанской свиты, в междуручье Маймакан - Магей и на щите на водоразделе Укикана - Нагима. Силлы обычно прослеживаются на несколько километров, их мощность редко превышает первые десятки метров, как правило, она меньше. Даики можно встретить всюду, их протяженность изредка достигает двух километров, мощность до 10, редко 20 м. Мелкие штоки фиксируются среди полей кислых эфузивов магейской свиты развалами глыб на плоскостях, не превышающими 20-40 м². Большинство из них приурочено к разломам и трещинам.

Базальты и андезиты представляют собой темно-серые до черных мелко- и среднезернистые, реже порфировые породы. По своему составу и структурам базальты и андезиты очень однородны и отличаются от эфузивов мезачанской свиты лишь лучшей раскрытием. По этой причине не приводится их петрографическое описание. Диориты средне- и мелкозернистые темно-серые породы, характеризующиеся порфировой структурой и микродиабазовой структурой основной массы. Во вкрашениях зерна андезина (до 2,5 мм), реже авигита, в основной массе много рудной пыли и мелких зерен магнетита и ильменита. Эзоконтактовые изменения, связанные с палеогеновыми интрузиями, выражаются в слабом уплотнении и закалке вымещающих терригенно-осадочных и эфузивных пород.

Интрузии долеритов и базальтов характеризуются проявлениями железной, титановой и хромовой минерализации. Однако никаких заслуживающих вниманиярудопроявлений встреченено не было. Диориты образуют три небольших (менее 0,5 км²) штока среди базальтов и андезитов мезачанской свиты на водоразделе рек Кундумы и Маймакан, а также на правобережье р.Кундумы. Диориты представляют собой серые и светло-серые мелкозернистые порфироидные породы непостоянного состава, состоящие из андезина-лабрадора (40-60%) и аигита, реже гиперстена (20-35%), роговой обманки и биотита (5-15%), калиевого полевого шпата и кварца (0-10%), магнетита, титаномагнетита (до 12%), апатита (1-5%) и сфена. Структура пород ойтова. Вкрашениями представлены пироксеном. Контактовых изменений во вымещающих породах не наблюдается. С диоритами связаны незначительные проявления железной и титановой минерализации. В бассейне Кундумы ими обусловлена наиболее значительная магматическая аномалия в районе (Тихин и др., 1958).

Штоки и даики долеритов и базальтов руют эфузивы некумканской и магейской свит нижнего мела. Сходство описываемых пород с эфузивами мезачанской свиты позволяет считать их образоваными в едином магматическом очаге и рассматривать рудные тела либо базальтов и долеритов как подводящие каналы эфузивов мезачанской свиты. Следовательно, их возраст определяется возрастом мезачанской свиты и является палеогенным.

Возраст диоритов устанавливается также по залеганию их в эфузивах мезачанской свиты палеогена. Мелкие тела и даики аналогичны по составу интрузий широко распространены непосредственно южнее за пределами рассматриваемого района, где они считаются условно палеогеновыми (Зубков, 1962). На этих основаниях диориты относятся к палеогену также условно.

ТЕКТОНИКА

Территория листа 0-53-ХХХУ расположается на юго-восточной окраине Учуро-Майской плиты Сибирской платформы в зоне ее сопряжения с Джугджурским поднятием Джугджуро-Станового эпиплатформенного орогенетического пояса (по В.Е.Ханту). Зона соединения почти повсеместно перекрыта вулканогенными образованиями Преддундурского наложенного прогиба, относящегося к внешней части Охотского тектономагматического пояса. В структурном отношении это край древней консолидированной в предсреднепротерозойское время платформы, неоднократно активизировавшейся в своем развитии, и в мезо-кайнозойское время захваченной процессами, связанными с проявлением интенсивного магmatизма в зоне хр.Джугджур.

Оманско-Батомского поднятия

Учуро-Майская плита охватывает северную часть рассматриваемого района и представлена южным склоном Оманско-Батомского водного поднятия. В строении его выделяются два структурных яруса: фундамент и платформенный чехол (рис.1).

Фундамент сложен нижнепротерозойскими гнейсами и кристаллическими сланцами батомской серии и конкордантными мигматитами синорогенных гранитов. Гнейсы и кристаллические сланцы смяты в крутые (углы падения изменяются от 20-25° до 80-85° и в среднем составляют 55-65°) складки с преобладанием северо-восточными простираниями для восточных частей района и наименее нарушенными северо-западными – для его западных частей. Повидному, это вызвано тем, что в бассейне р.Чад расположается южное замыкание Уткачанской куполовидной антиклинали, а в южном течении р.Магей – ее восточное крыло. Уткачанская куполовидная антиклиналь является структурой первого порядка, которая определяет строение фундамента Оманско-Батомского поднятия (Филичев и др., 1967ф). В ее ядре выходят породы Уткачанской свиты, на крыльях – одолинской и малямакской. Северо-восточному простиранию оси Уткачанской куполовидной антиклинали подчинено простирание большинства осложняющих ее крылья антиклинальных и синклинальных складок более высоких порядков. К последним относятся складки, в которые смяты в районе гнейсов и кристаллические сланцы батомской серии.

Конкордантные мигматиты синорогенных раннепротерозойских гранитов характеризуются вытянутой согласно простиранию формой и связаны с ними постепенно переходами через мигматиты. Наиболее крупный из них, в южной части, является Южным окончанием стромного Уткачандинского массива (Филичев и др., 1966ф), приуочченного к осевой части Одолинской антиклинали.

Платформенный чехол сложен слабо дислокированными эфузивными и осадочными отложениями среднего и верхнего протерозоя, нижнего кембра и нижней юры. В чехле отчетливо намечается асимметричная Чадская синклиниаль – наль. Она находится в междучехле Чада, Хоту-Одлондо и Ануунгды, восточнее, в бассейне р.Магей, и почти полностью перекрыта нижнекембрийскими эфузивами. Ядро складки сложено нижнекембрийскими и нижнеюрскими отложениями, а крылья эфузивными и осадочными породами среднего и верхнего протерозоя. Четко наблюдается западное центрально-западное замыкание складки, достигающее 20-25 км в поперечнике. Оно устанавливается постепенным изменением простирания средней и верхнейпротерозойских пород в междучехье Чада и Одлондо с субширотного через северо-восточное на меридиональное. Ось складки протягивается в субширотном направлении. Крылья ее резко асимметричны: северное – пологое с углами падения к югу до 10°, южное – крутые, с углами наклона, приближающимися к 70-80°. Хотя непосредственных замеров элементов залеганий нет, они отчетливо decipherируются на аэрофотоснимках. Складка нарушена поперечными разломами, в основной ее части перекрыта мезозойскими вулканогенными породами.

Северное крыло Чадской синклинали прослеживается восточнее в бассейне правых и левых притоков р.Магей в нижнем его течении. В бассейнах рек Ногокан и Солонджа расположается наиболее приподнятая часть крыла, сложенная среднепротерозойскими отложениями. Углы падения здесь достигают 20° при субширотном простирании. В междучехье Чадук – Кокинкан находится приподнятая часть крыла, сложенная верхнепротерозойскими и нижнекембрийскими отложениями. Углы падения здесь выполняются и не превышают 10-12°.

К югу от Чадской синклинальной складки расположается Среднетумусская синклиналь, которая соединяется с Чадской синклиналью по крутым асимметричному антиклинальному перегибу с крутым северным и пологим южным крыльями. Крылья Среднетумусской синклинали сложены породами алтайской свиты, падающими под углами до 15° в осевой части структуры развили осадочные отложения гонамской и энинской свит.

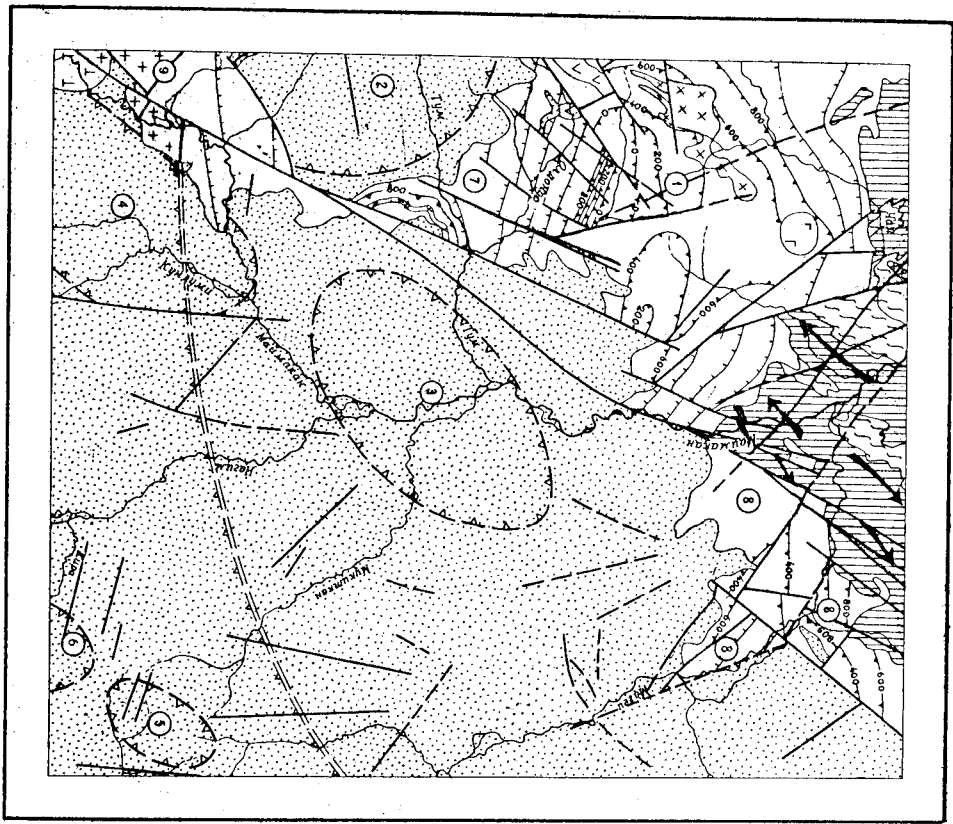


Рис.1. Тектоническая схема

Омжанско-Батомское поднятие
Чурсо-Майской платформы Сибирской
платформы: 1-3 - фундамент: 1 - кругие и узкие складки
в нижнепротерозойских гнейсах и кристаллических сланцах, 2 - оси складок с указанием направления погружения, 3 - кон-
кордантные мигматитоны синорогенных раннепротерозойских гра-
нитов; 4-6 - платформенные чехлы: 4 - пологая синклиналь в
средне-верхнепротерозойских отложениях (линия указывает прости-
ранья пластов, бордюры - направление падения); 5 - асиммет-
рическая синклинальная складка в верхнепротерозойских, нижнекоб-
рийских и южнодарских отложениях (изогипсы проведены через 200 м
по подошве гомянской свиты), 6 - предполагаемое положение верх-
него пакрира флексуры; 7-9 - интрузивные массивы этапов актини-
зации платформы: 7 - трёхногий массив среднепротерозойских
табборидов; 8 - позднепротерозойский чадский массив, 9 - плас-
тообразные тела раннемеловых кварцевых порфиров.
Джугджурское поднятие
Форменного орогенического пояса Джу-
гджура - Ставрополья: 10 - Джугджурский краевой
пукон раннепротерозойских анортозитов; 11 - Тредиакий массив
среднепротерозойских гранитоидов. Прялжугджур-
ский наложенный и прибрежно-окотский
тектономатический пояс: 12 - пологие складки в нижнемеловых отложениях;
13 - брахиформные синклинали. П р о ч е
н и я: 14 - предполагаемая северная граница погребенной зоны
Джугджурского глубокого разлома (брегштрихи направлены в сто-
роны зоны разлома); 15 - разрывы, 16 - структуры (на схеме в
руках): синклинали: 1 - Чадская, 2 - Тумская, 3 - Мунгкан-
ская, 4 - Кудумийская, 5 - Нальчикминская, 6 - Киринская,
7 - Среднетумская, 8 - Северное крыло Чадской синклинали;

Фундамент и платформенный чехол прорваны разновозрастными интрузиями. Массивы среднепротерозойских габбро имеют крутые рвущие контакты с вмешанными породами. Наиболее крутой из них, основная часть которого располагается в пределах территории листа 0-53-ХХХ, характеризуется линейно-вытянутой формой, ука-зывающей на трещинный характер его внедрения.

Часть массива в гозднепротерозойских гиперба-

зитов и позднениенефеловых габро-диоритов имеет концентриче-

скул трубообразную форму с близкими к вертикальному положению

стенками. По строению он аналогичен

массиву, расположенному северо-западнее за пределами района

(Белянов, Моралев, 1961). Наклонные пластовые тела раннемеловых кварцевых порфиров, а также не показанное на тектонической схеме пластовые тела условно позднепротерозойских диабазов согла-но залегают среди пород чехла. Все массивы прорывают породы чех-ла, не вызывая в них видимых дислокаций. Исключением являются раннемеловые и позднепротерозойские пластовые интрузии, которые расслаивают чехол, вызывая слабую волнистость в его залегании.

Джугдурское поднятие

Краевая часть Джугдурского поднятия, входящая в пределы среднепротерозойскими анортозитами и устанавливается лишь на больших площадях вне описанной тер-ритории. Раннепротерозойские анортозиты слагают громадный Джуг-дурский краевой пултон, ориентированный в субширотном направ-лении параллельно краю платформы. Среднепротерозойские гранито-иды образуют крупную протяженную (120 км) трещинную Ижно-Учур-скую интрузию, приуроченную к ослабленной зоне глубинного раз-лома, простирающегося также субпараллельно краю платформы. Джугдурское поднятие отделяется от Учуро-Майской плиты зоной Джугдурского глубинного разлома (Гольденберг и др., 1964ф).

Одним из сопряженных разломов этой зоны является Нимирский раз-лом.

Зона Джугдурского грабена имеет субширотное простирание и протягивается на северо-восток на 500 км. Ее продолжением в западном направ-лении является Ижно-Учурская зона региональных разломов (Га-малея и др., 1964ф).

Зона Джугдурского разлома отделяет Учуро-Майскую плиту от Джугдурского поднятия и представляет собой систему субпарал-

дельных глубинных разломов, которые неоднократно обновлялись. В пределах территории листа 0-53-ХХХ она почти полностью пе-рекрыта мезозойскими эфузивами Предджугдурского наложенного прогиба, но проявляется на поверхности широким развитием участ-ков трещиноватых и гидротермально-измененных пород, к которым приурочено большое количество будопроявлений полиметаллов и зо-лота.

Предджугдурский наложенный прогиб

Предджугдурский наложенный прогиб на территории листа 0-53-ХХХ заходит своей юго-западной оконечностью. Прогиб ха-рактеризуется пологим ($5-7^{\circ}$, редко $10-12^{\circ}$) залеганием нижнеме-ловых и палеогеновых эфузивов с преобладающими южными и юго-восточными направлениями падений.

На фоне общего пологого залегания вырисовываются неболь-шие брахискладки, которые отчетливо видны на местности и аэро-фотоснимках. Наиболее крутыми из них являются Тумская, Кунгу-мийская и Мутиганская синклинали. Они имеют изометрическую, не-сколько выпуклую в северо-восточном направлении форму, размер их не превышает 15-30 км по длинной оси. Углы падений на кри-льях $15-20^{\circ}$, но постепенно выпадают к ялту складок и антиклинальным перегибам, разделяющим синклинали. Оба крыла Кунгумийской синклинали оборваны разломами, по которым произошло частичное вскрытие прилегающих блоков и в настоящий момент она вырисовывается в виде моноклинали. Однако отчетливо видно, что углы падения в $15-18^{\circ}$ на западном крае, судя по поведению геологических границ, выпадают в приосевой части складки до $3-5^{\circ}$.

В междуречье Кирры и Нальниканджи имеются сопряженные через антиклинальный перегиб Нальниканджинская и Киринская брахисинкли-нальные складки, вырисовывающиеся в породах магейской свиты. Складки не более 12 км по длиной оси, с падением крыльев от 12 до 20° . Наиболее четко по изменению простирания устанавли-вается Нальниканджинская синклиналь. Интересно отметить, что к антиклинальному перегибу между Нальниканджинской и Киринской складками приурочены многочисленные трещины без смешения и зоны дробления.

Особенностью Предджугдурского наложенного прогиба в пре-делах описанной территории, отличающей его от более восточных частей, является согласная дислокированность палеогеновых и нижнемеловых эфузивов. В более восточных и южных районах боль-

шинством исследователей (Гольденберг и др., 1964; Ставцев и др., 1962; Зубков, 1962) отмечается горизонтальное залегание палеогеновых базальтов на слабодислоцированных нижнемеловых эфузивах, что позволяет выделять там два структурных подъярусса.

Наложенный характер Предджугджурского прогиба выражает из следующих его особенностей. Для него выявляется северо-восточная ориентировка структур в отличие от широтной в чехле южного края Омминско-Батомского южного поднятия. Типичными структурами здесь являются брахи складки с плавными постепенными переходами от синклиналей к более пологим антиклиналям, в то время как в чехле складки резко асимметричные, флексугообразные по характеру перегибов. Амплитуда брахи складок в прогибе значительно меньше (200-300 м) амплитуды складок в чехле (1200-1500 м, в возможно и более). Размер складок Предджугджурского прогиба и чехла также различны. А главное, Предджугджурский прогиб без заметного изменения собственных структурных особенностей накладывается на разновозрастные и принципиально отличные зоны: Уланский и Биякчанский авлакогены, Улю-Улканский и Майский прогибы, Омминско-Батомское и Джугджурское поднятие.

Дизьюнктивные нарушения

Дизьюнктивные нарушения, развитые в пределах рассматриваемой территории, представлены двумя сериями разрывов, пересекающими под близкими к прямым углам. В первую серию входят разрывы северо-западного и близкого к нему направления, во вторую — северо-восточные. Имеются нарушения промежуточных направлений, но они играют подчиненную роль. Плоскости смещителей разрывов вертикальные или кругоглядящие к юго-востоку. Амплитуда вертикального смещения редко превышает 300 м и в среднем равна 100-200 м. Протяженность обычно не превышает 10-20 км, но некоторые из разрывов протягиваются на значительно большие расстояния. Крупные нарушения нередко оперяются более мелкими. Почти все разрывы хорошо прослеживаются на местности и довольно четко дешифрируются на аэрофотоснимках. Иногда они сопровождаются тектоническими брекчиями, зонами окварцевания, пиритизации, расщелинованных и гидротермально-измененных пород. Большая часть разрывных нарушений приурочена к участкам развития домозойских пород.

Кроме разрывов, сопровождавшихся более или менее значительным смещением пород, отмечается большое количество различных тектонических трещин различной протяженности (в отдельных слу-

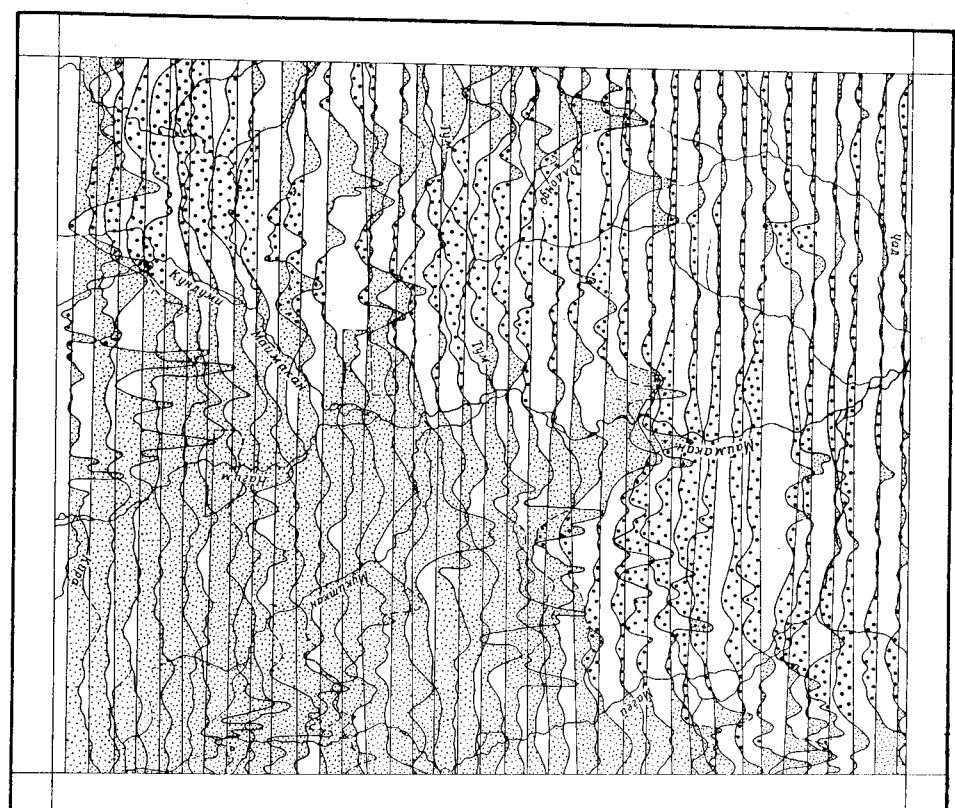


Рис.2. Карта графиков ΔTa
Значения ΔTa : 1 - положительные; 2 - отрицательные

чаях, десятки километров). Обычно трещины сосредоточены на отдельных участках, например, в верховьях р.Бургала, на водоразделе рек Нантниты и Мужиткана, на водоразделе рек Эльдому и Чад вблизи дунитового массива, в междуречьях Тума и Нимара, Киря и Нальники и в ряде других мест. Одиночные трещины нередко бывают залечены молочно-белым кварцем, обычно без следов заметного оружиения. В участках трещиноватости отмечается обожжение, пиритизация, окварцевование пород.

На прилагаемой аэромагнитной карте масштаба 1:500 000 (рис.2) четко выделяются два поля значений Δ Та – положительное и отрицательное. Первое в общих чертах отвечает распространению эффирузивов Предкингутджурского наложенного прогиба, второе – выходам метаморфических образований фундамента и эффирузивно-осадочных отложений платформенного чехла. Располагающиеся среди этих полей обычно небольшие по величине аномалии пологовальных значений Δ Та в одних случаях (р.Олondonо, подраздел рек Маймана – Кундуими, Кунчуими – Магея, Инголиджи – Кокиникана, р.Майманан ниже устья р.Ангунгуды) приурочены к массивам, лайкам и пластовым телам основных интрузий, обогащенным железистыми минералами; в других случаях – водоразделы Олondonо – Чад, Чад – Эльдому – вызваны груповой минерализацией (пирит, магнетит) в экзоконтакте дунитизированных диоритов с доломитами и терригенными породами; в третьих – они связаны с какими-то, по-видимому, глубинными процессами. Отдельные всплески значений Δ Та, повторяющиеся на параллельных залежах и совпадающие с наиболее четкими разрывами (разлом, противостоящий через устья рек Нимара, Ангунгуд, Магея, разрыв в междуречье Кундуими и Нагим, вдоль левобережья р.Бургала, а также в нижнем течении р.Магея) вызваны, по-видимому, глубинной минерализацией вдоль них. Несколько необычным является одновременность значений Δ Та с отсутствием локальных всплесков в Междуречье Кира – Нагим – Мужиткан – Бургала, на плодородии наибольшего развития участков и зон трещиноватости, пиритизации и гидротермально-измененных пород с выявленной полиметаллической и золотой минерализацией.

ГЕОМОРФОЛОГИЯ

В формировании рельефа района основную роль играли денудация, эрозия и ледниковая деятельность, интенсивность которых была обусловлена неоген-четвертичными поднятиями. В районе выделяются несколько различных по генезису, возрасту и морфологии типов рельефа (рис.3).

Денудационный рельеф палеогенового возраста (древняя поверхность выравнивания)

Небольшие по площади разрозненные участки поверхности выравнивания сохранились на водораздельных пространствах в центральной и северной частях района. Поверхность характеризуется абсолютными отметками от 850 до 1100 м и стяжаками мягкими оштактованиями с широким развитием россыпей щебенки, реже каменных многоугольников и бугров пустения. Палеогеновый возраст рельефа устанавливается по аналогии с соседними районами – водораздел рек Бирнада и Улкан (лист 0-53-ХХХ), в междуречье Батомги и Челасина (лист 0-53-ХХХ) и в ряде других мест, где в эоловальных суглинках встречен комплекс спор и пыльцы теплолюбивой флоры палеогенного времени (Гамзатов и др., 1964; Ставлев и др., 1965).

Эрозионно-денудационный низкогорный рельеф неоген-четвертичного возраста

Этот рельеф развит в области слабых новейших поднятий в северной части описываемого района. Он характеризуется абсолютными высотами до 900 м и имеет относительные превышения 200–300 м. В зависимости от форм рельефа, обусловленных литологией пород, выделяются два подтипа.

Слаборасчлененный пологий рельеф сформирован на терригенных и эффирузивных породах и характеризуется ящикообразными долями с пологими нередко ступенчатыми склонами, крутизной до 15° и широтами заболоченными днищами. Водораздельные поверхности плоские, пологовыпуклые, шириной до 600 м. Их развитие обусловлено "бронирующим" действием пологозатачивающих пород.

Слаборасчлененный рельеф, сформированный на метаморфических породах и гранитах нижнего протерозоя, характеризуется неширокими пологохолмистыми водораздельными поверхностями шириной до 450 м, на которых имеются гравики скальных останцов, и пряммы крутизной до 20° склонами с локально развитыми осадками глыб.

Неоген-четвертичный возраст рельефа определяется тем, что он образовался за счет расчленения палеогеновой поверхности

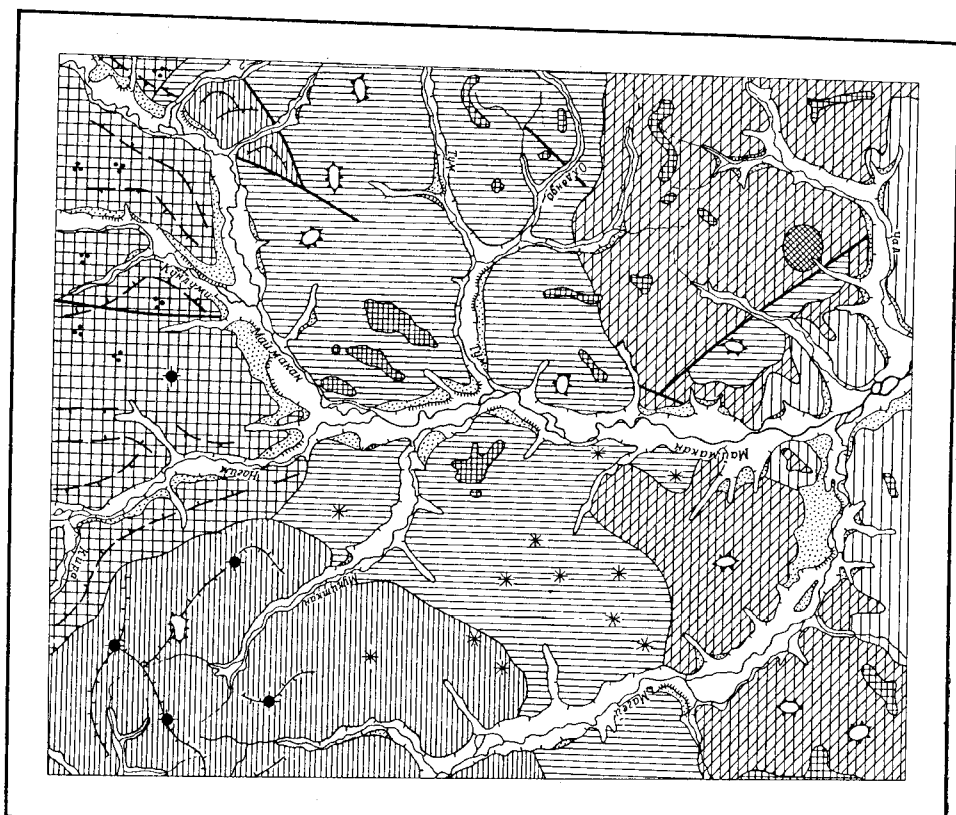


Рис.3. Геоморфологическая схема

1 - ленуляционный рельеф палеогенового возраста, поверхность выравнивания; 2 - эрозионно-ленуляционный низкогорный рельеф неоген-четвертичного возраста в области слабых новейших поднятий; 3 - слаборасщепленный пологохолмистый рельеф на терригенных и эфузивных породах; 4 - слаборасщепленный грависто-холмистый рельеф на метаморфических породах и гранитах нижнего проторозоя; 5 - ленуляционно-эрзионный среднегорный рельеф неоген-четвертичного возраста в области относительно слабых новейших поднятий; расщепленный гольцовый рельеф с узкими выемками полоразделными поверхностями и глубоко врезанными долинами на эфузивных породах; 6 - ленниковско-ленуляционно-эрзионный среднегорный рельеф среднечетвертично-современного возраста в области значительных новейших поднятий; расщепленный рельеф с широкими полого-выпуклыми, уплощенными полоразделными поверхностями и глубоко врезанными трогобразными долинами на эфузивных породах; 7 - эрозионный среднегорный верхнечетвертично-современный рельеф в области значительных и интенсивных новейших поднятий; слишком расщепленный рельеф с гребневидными водораздельными и глубоко врезанными узкими долинами на эфузивных породах; 8 - зреелический рельеф широких днищ речных долин; 9 - высокая надпойменная терраса, 10 - низкая надпойменная терраса и пойма; 11 - рельеф интрузивных пород Чадского массива; 12 - гребневидный водораздел; 13 - конусовидная вершина; 14 - уплощенная конусовидная вершина; 15 - плоская вершина; 16 - широкое днище речной долины; 17 - уступ речной террасы; 18 - пласти трогов; 19 - эратические валуны; 20 - уступы в рельефе, обусловленные неоген-четвертичным разломом; 21 - граница различных типов и подтипов рельефа

выравнивания; он пространственно примыкает, но не входит в область, захваченную максимальным среднечетвертичным оледенением.

Денудационно-эрозионный среднегорный рельеф

Нелен-четвертичного возраста

Этот тип рельефа развит в области относительно небольших новейших поднятий и протягивается в центральной части района в виде сужающейся к востоку полосы. Рельеф носит гольцовский характер, абсолютные высоты достигают 1150 м, относительные превышения 350–500 м. Водораздельные поверхности обычно неширокие (150–200 м), но на отдельных участках расширены до 500 м, вершины уплощенные конусовидные или плосковерхие. Долины рек ящикиобразной или образной формы с крутыми до 20–25° склонами, часто с микроступенчатой скользьюткой.

Возраст рельефа определяется аналогично эрозионно-денудационному рельефу и отличается от последнего более интенсивным развитием эрозии.

Ледниково-демудационно-эрозионный среднегорный рельеф среднечетвертично-современный рельеф

Ледниковый рельеф приурочен к области значительных новейших поднятий и расположается на юге района в бассейнах рек Нагим, Неяракан, Укикан, Кундуми, Малмакан на абсолютных высотах до 1152 м. Он характеризуется значительной расщепленностью и глубоковрезанными широкими трогообразными долинами, на вогнутых склонах которых сохранились реликты плешей тротов. Широкие пологовыпуклые или уплощенные водораздельные поверхности представляют собой частично переработанную поверхность выравнивания. На водоразделах и склонах нередко встречаются эратические валуны до 1,5 м в поперечнике. Количество валунов увеличивается к днишам долин, где нередко отмечаются их скопления. Эратические валуны являются свидетелями размытых ледниковых отложений, которые имеют значительное распространение на хр. Джуатжур непосредственно ниже в пределах смежного листа № 53-IV (Зубков, 1962).

Возраст рельефа, как среднечетвертично-современный определяется тем, что максимальное покровное оледенение хр. Джуатжур произошло в среднечетвертичное время. Оледенение захватило как водораздельные пространства, так и верховья речных долин. После

этапа ледника палеогеновая поверхность выравнивания была отпрепарирована и затем подверглась незначительному воздействию процессов денудации.

Эрозионный среднегорный верхнечетвертично-современный рельеф

Этот рельеф развит в центральной части Кульдуми-Тунумской горной цепи в междуречье Мукиткан – Бургала – Нагим – Кира в области значительных и интенсивных новейших поднятий и располагается на абсолютных высотах до 1350 м. Кроме того, небольшой участок аналогичного рельефа наблюдается в междуречье Нимар – Дьюкатели – Малмакан в приподнятом блоке, ограниченном с двух сторон разломами, по-видимому, активными в средне- и позднечетвертичное время.

Эрозионный рельеф отличается сильной и глубокой (относительные превышения 400–650 м) расчлененностью. Речные долины V-образные с крутыми до 35° склонами, испещренными многочисленными ложбинками и эрозионными бороздами. Склоны почти полностью от бровки до подножия покрыты осыпями щебенки и мелких глыб.

Водоразделы гребневидные, реже выпуклые, шириной от 3 до 30 м, с отдельными узкими седловинами и конусовидными вершинами высотой до 70 м.

Верхнечетвертично-современный возраст рельефа определяется тем, что он сформировался, главным образом, после среднечетвертичного оледенения (следы которого оказались в настоящее время полностью уничтоженными).

Эрозионно-аккумулятивный верхнечетвертично-современный рельеф широких днищ речных долин

В ИСОКАЯ НАД ПОЙМОННАЯ АККУМУЛЯЦИЕЙ в наст. терраса прослеживается по долинам рек Магетей, Мукиткан, Нагим, Малмакан, где сохранились в виде небольших разобщенных участков. Высота террасы над урезом воды колеблется от 8 до 15 м, иногда достигая внутреннего (тыльного) края 25 м. Ее ширина от 0,3–0,4 до 2–2,5 км. Поверхность террасы ровная, как правило, заросла (характерна сосна) и задернована, чаще сухая, реже заболочена. Переход к склонам выражен четко, к низкой надпойменной террасе – обычно посредством уступа высотой от 1,5 до 2 м.

ПОЯМА И НИЗКАЯ АККУМУЛЯЦИЯ

на дюни и на зонах террас, как правило, совместно образуют уступы высотой от 1 до 4, реже 6 м над уровнем воды. Высота низкой надпойменной террасы у внутреннего края достигает 8–10 м, ширина – колеблется от 0,2–0,3 км (у небольших ручьев и рек) до 2–3 км у рек Маймакан, Магей, Нагим. В местах впадения долин притоков в основную долину их ширина обычно увеличивается. Поверхность поймы и низкой надпойменной террасы характеризуется грядово-волнистым, типичным приусловым микрорельефом (протоки, озера, старичные понижения). На левобережье приусьевой части р.Кундуми и на правобережье р.Маймакан, против устья р.Сыганджи, имеются четко выраженные прирусловые валы высотой 1–1,5 м.

Современный возраст рельефа поймы и низкой террасы, а также верхнечетвертичный возраст высокой надпойменной террасы определяется соответственно возрасту рыхлых отложений, формирующих описанные аккумулятивные формы рельефа.

Рельеф интрузивных пород Чадского массива

Этот тип рельефа имеет локальное развитие по правому притоку р.Чад и представляет собой глубокий (до 550 м) приток с крутыми до 40–45°, рассеченными узкими скалистыми промоинами, прямими склонами, переходящими в кольцевой скалистый гребень диаметром до 4 км, достигающий высоты 1000–1067 м. Он сформировался благодаря различной сопротивляемости интрузивных пород Чадского массива. Так, дюнты и перидотиты центральной части массива легко подвергены процессам физического выветривания, а породы внешней зоны массива, совместно с ороговикованными песчаниками и алевролитами, образующими кольцо, наоборот, являются очень устойчивыми. Рельеф формируется с конца палеогенового периода, а возможно, и более длительное время.

Формирование современного рельефа района началось в конце палеогенового периода расщеплением палеогеновой поверхности выравнивания. С этого времени и до настоящего вся территория района претерпела значительное поднятие. Поднятие было неравномерным, на что указывает значительная деформация палеогеновой поверхности выравнивания, но одновременно охватывало всю площадь, а не отдельные ее участки. По-видимому, начальной стадии поднятия территории обусловлены листлокации палеогеновых образований, которые на юге (Зубков, 1962) и востоке (Гольденберг и др., 1965) залегают практически горизонтально.

ПОЛЕЗНЫЕ ИСКОПАЕМЫЕ

На территории листа 0-53-ХХХII известны месторождения слюды и стройматериалов, проявления полиметаллов, золота, горного хрусталя, выявлены шиховые ореолы рассеянния ильменита, титаномагнетита, хромита, золота, платины, шеелита, базовисмутита, цирконита, малакона, ксенотима и металлометрические ореолы вторичного рассеяния серебра, свинца, цинка, меди, молибдена, лантана.

МЕТАЛЛИЧЕСКИЕ ИСКОПАЕМЫЕ

Титан

Ильменит и титаномагнетит повсеместно встречаются в шлихах, где среднее содержание их составляет десятки г/м³. В шлиховом ореоле (4) в бассейне правого притока р.Чад содержание титаномагнетита местами достигает до 2,9 кг/м³. Коренными источниками его являются перидотиты Чадского массива, в которых он присутствует в виде рассеянной вкрапленности, достигающей 1,5–2,5%, иногда образует мелкие (10×15×25 см) широкие и струйчатые скопления. Второй ореол рассеяния (25) располагается по левому притоку р.Маймакан выше устья р.Сыганджи, где в русловых отложениях отмечается содержание ильменита до 2,5 кг/м³. Источником сноса является раннепротерозойские анортозиты, в которых ильменит является акцессорным минералом.

Хром

В бассейне правого притока р.Чад устанавливается ореол рассеяния хромита (3) по шлихам из аллювия, где его содержание составляет от 150 до 900 г/м³. Вниз по течению ручья содержание хромита резко падает. В коренном залегании хромит присутствует в дюнтах Чадского массива, там его мелкие (0,4–3 мм) вкрапленники неравномерно рассеяны по породе, составляя от 1 до 2%. Изредка наблюдаются шлировидные скопления размером до 5×25 см с содержанием хромита до 5–10%.

Единичные знаки хромита в шлихах установлены также в бассейнах рек Тум, Ингутаджа, по правым притокам рек Магей и Муркиткан. Здесь источниками сноса хромита являются оливинсодержа-

щие андезиты и базальты мебачанской свиты, в которых он встречается в качестве акцессорного минерала.

Полиметаллические руды

В районе установлено несколько коренных проявлений полиметаллической минерализации, а также металлометрические ореолы вторичного рассеяния свинца, цинка, меди, серебра. Обычно полиметаллические руды содержат золото.

П р о л е н и е "Н а л ь н и н д ж и н с к о е" (3^х) х/находится в верховьях первого сверху левого притока р. Нальнина. Здесь в борту распадка, впадающего в упомянутый выше приток имеется обрыв, высотой 40 м и протяженностью 70 м, где обнаруживаются фельзит-порфирры магейской свиты нижнего мела, которые местами освобожены, пиритизированы, обожраны и пронизаны многочисленными прожилками светло-желтого, реже грязно-серого кварца, имеющими мощность до 5-15, а в раздувах до 25-30 см. На участках наиболее интенсивно пиритизированных и окварцованных пород наблюдается вкрапленность и сростки кристаллов галенита размером до 0,5-0,8 см. Из десяти пунктов обнажения в различных его частях были взяты 30 штучных проб, химические анализы которых приведены ниже в табл. 2.

Медь обнаружена только в пробах 1823 и 1828 в количестве 0,09%. В одной штучной пробе из центральной части обнажения минералогическим анализом обнаружены галенит - до 8500 г/т, свинецодержащая охра - 180 г/т, сфалерит - до 200 г/т, халькопирит - до 700 г/т, вульфенит - до 200 г/т, малахит - до 300 г/т, золото - одно зерно размером 0,25 мм, а также цинцит и эпидот. В двух штучных пробах галенит составляет 75 и 82% электромагнитной фракции (однако выход последней от веса навески в анализе не указан), сфалерит присутствует в редких знаках. В трех штучных пробах отмечены знаки и редкие знаки галенита и сфалерита. Четыре пробы оказались пустыми. Спектральным анализом в штучных пробах был обнаружен свинец и цинк от 0,001 до 1% и более, изредка медь 0,001-0,006%, следы серебра и берилля, молибден до 0,003%, палладий - 0,006%, иттрий - до 0,006%.

х/ Звездочкой (х), например, (37^х), отмечены все проявления, установленные в 1963 г. поисками работами В.В. Скотаренко (1964). Однако при описании, характеристике и оценке учтены не только данные, приведенные в отчете Скотаренко В.В., но также результаты минералогического, химического, спектрального и золотометрического анализов, хранящиеся в архиве экспедиции.

Спектрологометрическими анализами здесь же установлено золото. Нальницинское рудопроявление приурочено к зоне дробления, окварцевания и пиритизации мощностью до 50 м, которая прослеживается по азимуту СЗ 300° на протяжении нескольких километров.

Таблица 2

№ пробы	Содержание, %		%	Содержание, %		№ пробы	Содержание, %	
	Pb	Zn		пробы	Pb	Zn	пробы	Pb
1823	3,09	2,09	1826а	1,05	-	1830	0,04	Сл.
1823а	2,08	-	1826б	0,09	-	1830б	3,02	-
1823б	1,09	-	1826в	0,06	0,01	1830в	3,12	-
1823в	1,08	0,006	1826г	1,08	-	1830г	3,16	0,05
1823г	1,04	-	1827	1,01	0,9	1832	0,02	1,02
1823д	0,05	0,008	1827а	2,08	0,03	1832б	0,08	-
1824	0,02	-	1828	1,04	0,09	1832в	2,04	-
1824/1	4,09	-	1828	2,08	0,9	1832г	2,09	-
1825	0,01	-	1828а	3,01	-	1836	0,01	-
1826	1,55	0,08	1828г	3,06	0,05	1837	0,01	-

П р о л е н и е (3^х) расположается на водоразделе рек Мугиткан и Нальнинджа в зоне дробления, окварцевания и пиритизации. Химическим анализом штучной пробы измененных дацитовых порфритов в них установлены следы - 0,01% и цинк 0,01%. Здесь же обнаружено золото.

П р о л е н и е (3^х) расположено на правобережье р. Миоры. Здесь на участке площадью 40-60 м², в зоне дробления мощностью до 3 м и протяженностью до 200 м, прослеженной по азимуту СЗ 300°, отмечается сильная трещиноватость, обожранность и окварцевание плагиопорфирров магейской свиты нижнего мела. Многочисленные мелкие трещинки выполнены кварцем с включением гематита и пирита. Минералогическим анализом в одной из двух штучных проб в окварцованных плагиопорфирах установлено присутствие (в г/т): галенита - 2620, сфалерита - 120, халькопирита - 150, вульфенита - 60, перусита - 20, малахита - 167. Вторая пробы оказалась х/ Сведения о содержании золота в полиметаллических рудо- проявлениях приведены в разделе "Золото".

пустой. Химический анализ шести штучных проб окварцованных пла-типорфиров и обожженного кварца приведен в табл.3.

Таблица 3

№ пробы	Содержание, %			№ пробы	Содержание, %		
	Pb	Zn	Cu		Pb	Zn	Cu
I3I9	0,08	0,05	0,03	I323	1,00	1,09	0,06
I3I9/I	1,0	0,08	0,1	I327	2,04	1,04	0,01
I3I9/2	0,08	0,05	0,08	I329	1,09	0,09	0,01

В породах также присутствует золото.

П р о я в л е н и е (41^х) находится на водоразделе между

третий и четвертым от устья притоками р.Киры. Здесь на

плоской поверхности в развалах щебенки и мелких глыб на участке

в несколько десятков квадратных метров наблюдаются пиритизиро-ванные, обожженные, прожиланые тонкими прожилками кварца пла-

типорфир и фельзит-порфир Магейской свиты нижнего мела.

Несколько юго-восточнее города прорваны мелким штоком поздне-нижнемеловых диоритов дубгджурского комплекса. Минералогическим

анализом пяти штучных проб измененных плагиопорфиров и фельзит-порфиров установлено присутствие галенита и сфalerита в весовых количествах, которые не были подсчитаны. Спектральный анализ

этих проб обнаруживает в них синец до 0,01%, цинк – до 0,005% и медь – до 0,001%. В породах присутствует золото.

П р о я в л е н и е (23^х) расположено на правобережье

р.Дюкатель. Оно приурочено к зоне дробления шириной 2-3 м, про-

слеженной в северо-восточном направлении на 2 км. Зона дробления

располагается параллельно крупному разлому северо-восточного

простирания, прослеживающемуся в 1 км северо-западнее. В зоне

дробления на участке в 40-45 м² из интенсивно окварцованных квар-цевых порфиров элгатэйской свиты среднего протерозоя были отоб-раны пять штучных проб, химический анализ которых дал следующие

результаты (табл.4).

Минералогическим анализом шести штучных проб обнаружены

знаки галенита, сфалерита и барита, присутствует золото.

П р о я в л е н и е (17^х) находится на левобережье большого правого притока р.Олондо, в 3 км выше его устья. Судя по разва-лам глыб, кварцевые порфириты элгатэйской свиты среднего протеро-за здесь прорваны кварцевой жилой мощностью до 2 м и протяжек-

ностью 120 м, имеющей простирание СЭ 300°. Кварц белый, полупрозрачный, местами сильно гематитизированный. Химическим анализом из двух штучных проб гематитизированного кварца был обнаружен свинец в количестве 1,08 и 1,09%. Спектральным анализом в жильном кварце обнаружены серебро – слюды, барий – 0,6%, литий – 0,02%, хром – 0,003%, никель – 0,001-0,006%. В кварце в значительном количестве присутствует золото.

Таблица 4

№ пробы	Содержание, %			№ пробы	Содержание, %		
	Pb	Zn	Cu		Pb	Zn	Cu
730	1,02	0,09	0,001	733	4,03	1,03	0,004
731	0,03	0,1	0,004	734	0,02	0,09	0,001
732	0,9	0,9	0,003				

П р о я в л е н и е (33^х) расположено на левобережье первого снизу правого притока р.Киры. Оно приурочено к зоне дробления мощностью 10 м, которая визуально прослежена на 2 км по азимуту СЭ 290°. Здесь серовато-зеленые дацитовые порфириты Магейской свиты нижнего мела на участке площадью 8х25 м приобретают светло-серую, иногда грязно-белую окраску. По многочисленным трещинкам развиваются прожилки светло-желтого кварца мощностью до 5-7 см. Местами кварц обожжен и содержит вкрапленность пирита и гематита.

Химическим анализом пяти штучных проб окварцованных плагиопорфиров в них обнаружены свинец, цинк и медь (табл.5).

Таблица 5

№ пробы	Содержание, %			№ пробы	Содержание, %		
	Pb	Zn	Cu		Pb	Zn	Cu
I361/I	1,03	0,06	0,08	I361/4	0,01	0,06	-
I361/2	0,09	-	-	I361/5	0,8	0,06	0,1
I361/5	2,09	1,02	0,1				

Минералогическим анализом в двух штучных пробах установлен галенит (до 300 г/т) и знаки сфалерита, халькопирита, малахита, вулканита, халькоцина. В одной пробе отмечается много галенита, но количество последнего подсчитано не было.

П р о я в л е н и е (30) расположено на водоразделе между р.Кирой и правым притоком р.Нагим, впадающим в него ниже устья

р.Киря. Здесь в эпигенетической щебенке плагиопорфиров магейской свиты нижнего мела встречены глыбы обожженного кварца размером до 30 см в поперечнике. Визуально они прослеживаются на расстоянии около 100 м в направлении СВ 60°. Кварц темно-серый, реже молочно-белый, сливной, участками значительно обожженный. Отделенные обломки плагиопорфиров слабо окваркованы и обожжены. Минералогическим анализом одной штучной пробы в обожженном квартце обнаружен вулфенит - 72 г/т и единичные знаки галенита; спектральным анализом - свинец 0,01%, цинк 0,01%.

П о я в л е н и е (10) установлено на водоразделе рек Сольи и Солнечки. Здесь к разлому северо-восточного простирания (азимут 30°) приурочена зона дробления мощностью до 2 м и протяженностью 150-200 м. Вдоль разлома гнейсы маимаканской свиты раздроблены и участками обожжены. Минералогический анализом одной штучной пробы из брекчированных гнейсов обнаружен галенит до 0,3 г/т, единичные знаки малахита и блеклой руды.

П о я в л е н и е (2) расположается на правом берегу долины р.Чад. Здесь среди диабазовых порфиритов элгэтэйской свиты среднего протерозоя в узкой полосе протяженностью до 30 м, протягивающейся вдоль разлома северо-западного простирания, встречаются единичные глыбы темно-серого, реже грязно-белого, участками гематитизированного кварца. Минералогическим анализом в кварце установлено присутствие редких знаков галенита.

П о я в л е н и е (7) расположено в среднем течении р.Эльдому среди диабазовых и миндалекаменных порфиритов элгэтэйской свиты среднего протерозоя. Здесь вдоль разлома, имеющего простирание СЗ 330°, наблюдается зона дробления и обожженности мощностью до 2 м, протяженностью около 200 м. Минералогическим анализом штучной пробы из обожженных миндалекаменных порфиритов установлены знаки галенита. Спектральным анализом выявлен свинец 0,01% и медь 0,01%.

Металлогенным отображением рыхлых донных осадков были выявлены ореолы вторичного рассеяния свинца (35Х), цинка (36Х), меди (38Х), серебра (34Х) в бассейнах рек Мукикан, Нантингъя, Киря, Нальникжа и др., характеризующиеся повышенными содержаниями элементов: свинца 0,03% при фоновых 0,003%, меди 0,008% при фоновых 0,003%, цинка 0,01% при фоновых 0,001%, серебра 0,001% при фоновых менее 0,001%. Кроме того, металлогенные ореолы серебра выявлены в бассейнах рек Дьюкатели (18Х), Тум (17Х) и по левым притокам р.Магей (15Х) ниже устья р.Бургали. Повышенные содержания серебра составляют здесь 0,001% при фоновых менее 0,001%.

Большинство проявлений полиметаллических руд приурочено к обожженным и окваркованным участкам в эфузивах магейской свиты нижнего мела, сопровождающих линейно-вытянутые зоны дробления с падениями, близкими к вертикальному. Оруденение имеет явно гидротермальный генезис и, видимо, связано с постмагматическими процессами, завершающим внедрение поздненижнемеловых джутджурских гранитоидов. Каждое из описанных выше проявлений представляет поисковый интерес.

Золото

В пределах рассматриваемой территории имеются коренные проявления золота. Оно изредка встречается также в шлихах из аллювиальных отложений. Подавляющее большинство коренных проявлений связано с полиметаллическими рудами. Золото установлено спектролитометрическим анализом штучных проб, отобранных в зонах дробления из развалов глыб обожженных и окваркованных эфузивов, а также из жильного кварца. В табл.6 иллюстрируются результаты спектролитометрических анализов проб по отдельным проявлениям.

В Нальникнганском проявлении (ЭХ) в штучной пробе минералогическим анализом обнаружен один знак золота, а в проявлении (17Х) – пять знаков. Пластинчато-угловатые золотины не превышают 0,15 мм.

Кроме золота, присутствующего в проявлениях полиметаллических руд, имеется одно самостоятельное проявление золота (9Х) в бассейне р.Чина в 2 км выше ее устья. Здесь в элгэтэйских образованиях развиты диабазовые порфириты и кварцевые порфириты элгэтэйской свиты среднего протерозоя на площади 550 м². Породы окваркованы и карбонатизированы. По мелким трещинкам, которым иногда сопутствуют мелкообломочные брекции, развиваются кварцевые, кварц-кальцитовые, кальцитовые и баритовые прожилки. Мощность зонок гидротермально-измененных пород вдоль трещинок колеблется от нескольких до 70 см. Минералогическим анализом девяти штучных проб в гидротермально-измененных породах установлены циркон, лейкоксен, рутил, барит, гематит, пирит, эпилом, гранат и магнетит. В четырех пробах весом от 100 до 163 г обнаружено от одного до пяти знаков золота. Золотины угловатые, реже древовидные, пластинчатые, размером от 0,01 до 0,15 мм (пребладают последние), их цвет латунно-желтый. Спектролитометрическим анализом в 13 штучных пробах (из 15 анализировавшихся) было также установлено золото (табл.7).

Таблица 6

Адрес проявления и номер на карте по-лезных ископаемых	# пробы	Содержание золота, г/т	# пробы	Содержание золота, г/т
Левобережье большого правого притока р.Олondondo (11x)	371/1 371/2 371/3	30 6 3	371/4 377	1 0,1
Правобережье р.Кира (32x) (41x)	1319 1420 1420	3 40 0,8	1319/1 1420	3 0,5
Верховья р.Наль-нинджа (39x)	1823 1826 1826 1827 1827 1827	5 0,5 0,5 0,03 1 0,03	1828 1829 1830 1830 1830/1 1833	0,03 1 0,03 0,03 0,03 20
Верховья р.Наль-нинджа (37x)	1838 1839 1840 1841 1842	20 5 0,8 5 5	1842/1 1842/2	0,8 0,8
Правобережье р.Дю-катели (23x)	730 731 732	0,1 0,1 0,01	733 734/1 734/2	0,1 0,1 0,1

Спектральным анализом в породах установлены следы серебра, барий - до 0,03%, медь - до 0,006%.

В шликах из аллювиальных отложений единичные знаки золота размером 0,1-0,2 мм встречены в двадцати девяти разобщенных пунктах в бассейнах рек Чад, Эльдому, Маймакан, Кулчуми, Нагим, Нантингия, Кира, Магей. Довольно чистый шлиховой ореол золота выявлен только на левобережье р.Магей, ниже устья р.Бургасы (14). Источником золота здесь, по-видимому, являются зоны гидротермально-измененных пород и кварцевые жилы.

Анализ фактического материала показывает, что золото в районе главным образом ассоциирует с полиметаллическими рудами и так же, как последние, имеет пространственную связь с зонами преобразования, вдоль которых наблюдаются гидротермально-измененные породы. Дополнительный возраст золотого оруденения устанавливается на основании наличия его в нижнемеловых и отсутствия в палеогеновых эфузивах. Большинство золотых проявлений тяготеет к погребенной зоне Джугджурского глубинного разлома, по которой, как это видно на территории смежного листа 0-53-ХХХ (Тольденберг и др., 1964), происходило внедрение поздненижнемеловых гранитоидов джугджурского комплекса. По-видимому, главная масса джугджурских гранитоидов на территории листа 0-53-ХХХ скрыта под эфузивами нижнего мела, на что косвенно указывают отдельные мелкие штоки диоритов, прорывающих эфузивы. Внедрение же большей части массивов гранитоидов сопровождалось развитием интенсивной трещиноватости в кровле меловых эфузивов, по которым в дальнейшем проникали постмагматические гидротермальные растворы.

Таблица 7

# пробы	Содержание золота, г/т	# пробы	Содержание золота, г/т
5108	20	5120	5
5109	20	5121	5
5112	30	5122	20
5116	10	5123	10
5117	10	5125	10
5118	10	5126	10
5119	10		

Платина

Присутствие следов платины установлено пробирным анализом тяжелой фракции весом в 32 г, состоящей на 95% из хромита и взятой из 26 шлихов аллювиальных отложений правого притока р.Чад. По устному сообщению М.А.Богомолова (Сибирское отделение АН СССР), изучавшего Чадский массив в 1960 г., из 1,5 м³ аллювия удалось намыть около 0,6 г платины. Коренным источником платины, так же как и хромита, являются ультраосновные породы Чадского массива. В связи с этим ореол рассеяния хромита (3) одновременно может рассматриваться как ореол рассеяния платины.

Перспективы участка на платину остаются невыясненными, так как не были опробованы приплотиковые горизонты аллювия. В

аналогичном по строению и составу пород Кондэрском массиве, где ультраосновные породы содержат тонкорассеянную вкрапленность и шлихи хромита, в параллелической связи с которым встречается платина и осмистый ириций, в аллювии отмечается промышленные скопления платиномидов (Шпак и др., 1962). Это также позволяет предполагать обогащение платиной низких горизонтов аллювия ручья, размывающего Чадский массив.

Вольфрам

Единичные знаки шеелита в шлихах были встречены по первому снизу правому притоку р.Киры, где он образует небольшой ореол рассеяния (31), а также в одном шлихе на левобережье р.Ньюнинкан и на левоберегье р.Магей против устья руч.Сиптог. Источником сноса шеелита, вероятно, являются мелкие кварцевые прожилки, нередко присутствующие в зонах дробления среди кислых и средних эфузивов магейской свиты нижнего мела.

Молибден

Бульфенит был обнаружен в протолочках гидротермально-измененных кислых и средних эфузивов магейской свиты нижнего мела в трех полиметаллических проявлениях по правым притокам р.Киры (30, 32х, 33х) и в одном – в верховьях р.Ньюнинкан (39х). Содержания бульфенита по отдельным проявлениям составляют: № 39 – 200 г/т (обр.1823), № 32 – 60 г/т (обр. 1319/1), № 31 – знаки (обр.1361/2), № 33 – 72 г/т (обр.82). Металлометрическим опробованием данных осадков ореол рассеяния молибдена (40) площадь

около 10 км² устанавливается по второму и третьему снизу правым притокам р.Киры, где его содержание достигает 0,003% при фоновых содержаниях менее 0,001%. Молибден в районе сопутствует полиметаллическим проявлениям и, по-видимому, может являться полезным компонентом при разработке полиметаллических руд.

Тантал и ниобий

Единичные знаки эвксениита были обнаружены в одном шлихе в рыхлых отложениях р.Нагим в 1 км выше устья р.Нейрокан. Источником сноса эвксениита, вероятно, являются различные ледниковые отложения, в которые он мог попасть из пегматитовых жил среднепротерозойских или мезозойских интрузий, расположенных к югу от рассматриваемого района.

Редкие земли

Из минералов редких земель в шлихах встречаются моназит, ортит, ксенотим, первостигмат, циртолит и малакон.

Моназит в шлихах из аллювиальных отложений отмечается в редких знаках преимущественно в бассейнах рек Эльдому, Амунгда, Хоту-Оллондо. Источниками его сноса являются кварцевые порфирь эльтэтской свиты и раннепротерозойские пегматиты, в которых он присутствует как акцессорный минерал.

Ортит в единичных знаках отмечается в южной и восточной частях района. В аллювии он попадает из кислых эфузивов и мезозойских щитовых пород, где он является акцессорием.

Ксенотим в редких знаках встречен в аллювии левого притока р.Чад, где фиксируется шлиховой ореол его рассеяния площадью около 15 км² (1). Коренным источником ксенотима, вероятно, являются жилы раннепротерозойских пегматитов.

Перовскит установлен в редких знаках в четырех шлихах из аллювия правого притока р.Чад, истоки которого находятся в поле развития ультраосновных и габброидных пород Чадского массива.

Источником сноса перовскита, по-видимому, являются карбонатные породы, обнаруженные среди габбро-диоритов в юго-западной части массива. В Кондэрском массиве, где подобные карбонатные породы развиты более широко, они содержат перовскит в качестве типоморфного минерала (Ельянов, 1961).

Циртолит и малакон выявлены шлихом опробованием в аллювиальных отложениях рек Чад, Эльдому, Амунгда и по левым при-

токам р.Маймакан ниже устья р.Сыгандачи. Содержания цирконита и малахита обычно составляют 10–20 знаков на шлих, изредка до 0,3–0,5 г/м³. Ореолы рассеяния этих минералов установлены по р.Эльдому (6) и по левым притокам р.Маймакан выше устья р.Кундуми (19). Источником сноса этих минералов в ореоле (19) являются раннепротерозойские граниты, а в ореоле (19) – граниты среднего протерозоя, расположенные западнее в верхнем течении рек Нимар и Сыгандачи. В этих гранитах цирконит и малахит присутствуют в качестве аксессории.

В нижнем течении р.Киря и несколько ниже ее устья по р.Нагиеву выявлен металлометрический ореол вторичного рассеяния лантана (28^Х), с повышенными содержаниями от 0,01 до 0,1% (при фоновых содержаниях 0,002%). Источники сноса неясны.

Бисмут

Единичные зерна базовисмутита встречаются в шлихах из аллювия первого от устья правого притока р.Киря, где имеется небольшой (10–12 км²) ореол рассеяния (29), а также в одном шлихе из аллювия первого притока р.Магей, против устья руч.Сиптог. Источником сноса базовисмутита, вероятно, являются кварцевые прожилки из зон дробления в эфузивах магейской свиты нижнего мела.

НЕМЕТАЛЛИЧЕСКИЕ ИСКОПАЕМЫЕ

Горный хрусталь

Наиболее интересные проявления горного хрустала приурочены к зонам дробления, сопровождающим разломы, а также к кварцевым жилам.

Произлене (5^Х) на правобережье р.Чад приурочено к двум кварцевым жилам северо-восточного простирания, имеющим длину 0,5 и 2 м и протяженность 40–50 м, расположенным в кварцевых порфирах элгэтайской свиты среднего протерозоя. Периферические части жил сложены молочно-белым прозрачным кварцем, центральные – пятками прозрачного и полупрозрачного светло-серого кварца, у основания спаянных мелкозернистой кварцевой массой. Изредка встречаются кристаллы свободного роста полупрозрачного трещиноватого кварца размером до 3 см в поперечнике и до 3–5 см в длину. В краевых частях жил наблюдаются полосы брекчированного кварца с глинами трещин.

Слюдо-мусковит

Слюдя обнаружена на правобережье р.Эльдому в 4 км выше ее устья (8^Х). Мусковит приурочен к пегматитовой жиле, имеющей мощность 15–18 м и прослеженной по крутым глыбовым элювиально-делтовым развалам на расстояние 60 м в направлении СЗ З10°. Вместе с тем породами являются биотит-амфиболовые гнейсы нижней подсвиты маймаканской свиты, плагиограниты и мигматиты нижнего протерозоя. Мусковит в пегматитовой жиле располагается неравномерно. Его скопления с содержанием от 20 до 50% объема породы отмечаются по развалам глыб на площади от 8 до 10 м². В окружающих эти участки глыбах содержание мусковита 5–10% от общей массы породы. Мусковит образует пластинки размером от 1x2 до 2x3 см, наибольшие достигают 3x4 см. Толщина пачек 0,5–2 см. Пластинки часто деформированы, пронизаны тонкими трещинками.

Размеры недеформированных пластин от 1x1 до 2x3 см. Слюдя прозрачная, без заметных включений. Минералогическим анализом штукатурной пробы наиболее обогащенного слюдою пегматита установлено

П р о я в л е н и е (11^Х) на левобережье большого правого притока р.Олдоно является одновременно полиметаллическим и золотым и подробно описано в разделе "Полиметаллические руды". Здесь в кварцевой жиле местами наблюдаются небольшие пустотки и трещинки, стени которых выполнены пачками прозрачного и полу-прозрачного серого кварца с кристаллами размером до 2x3 см. Однако значительная обогащенность кварца снижает ценность этого проявления.

П р о я в л е н и е (16^Х) на левобережье р.Тум располагается среди окварцованных липаритовых порфиров и фельзит-порфиров магейской свиты нижнего мела. На участке площадью 8x15 м кристаллы кварца размером до 0,5x1 см слагают гнезда и стеки пустот, достигающих 10x30 см. В гнездах кристаллы cementированы серой, темно-серой кварцевой массой.

Мелкие проявления горного хрустала отмечены на правобережье рек Маймакан (12), Тум (22) и Нимар (24). Полупрозрачные и прозрачные кристаллы кварца размером до 3, реже 5–8 мм по длиной оси, правильной гексагональной формы наблюдаются в стяжениях, друзах, жеодах, трещинках и в мелких кварцевых жилах среди миндалекаменных порфиритов и кварцевых порфиров элгэтайской свиты среднего протерозоя, кристаллокластических туфов и кварцевых порфиров магейской свиты нижнего мела и порфиритов мевачанской свиты палеогена.

присутствие мусковита, плагиоклаза, циркона, апатита, рутила, граната, хлорита, эпилома и титаномагнетита. Возможный выход кондиционной слюды в среднем 1-2%. Ориентировочный подсчет запасов мусковита - 150-300 т (Скотаренко и др., 1964). Отсутствие технологических проб, неравномерное гнездообразное расположение мусковита в породе, малые размеры пластин мусковита, их значительная деформация и трещиноватость снижают ценность этого месторождения, не позволяя его классифицировать как промышленное.

СТРОИТЕЛЬНЫЕ МАТЕРИАЛЫ

В качестве строительных материалов массового применения могут быть использованы раннепротерозойские анортозиты, средне-протерозойские габбророды и кислые эфузивы, туфы кварцевых порфиров мезозоя, базальты палеогена, галечники, пески и суглинки четвертичного возраста. Все строительные материалы могут разрабатываться открытым способом, почти без вскрышных работ. Наиболее интерес представляют базальты, залежи гальки и гравия, кирпичные глины, расположавшиеся в относительно легкодоступных участках, прилегающих к долинам крупных рек.

Базальты

Наиболее крупные по размерам выходы базальтов, которые могут рассматриваться как малые промышленные месторождения бутового и штучного камня, расположены на правобережье р.Маймакан, в 5 км ниже устья р.Мукиткан (20) и на правобережье р.Кундуми (27). Базальты меванской свиты слагают здесь мощные пластовые залежи от 10 до 20 м каждая площадью 0,2 км². Базальты мелкокристаллические черного цвета, массивной текстуры, крепкие, с грубой пластовой отдельностью и относительно редкой системой трещин. Временное сопротивление сжатию, определенное по одному образцу, составляет 2070 кг/см². В районе устья р.Мукиткан запасы базальтов ориентировочно составляют 1,2 млн.м³. На правобережье р.Кундуми - 0,85 млн.м³.

Глины кирпичные

Небольшое месторождение кирпичных глин находится на левом берегу р.Маймакан в районе поселка (21). Здесь среди суглинков, супесей, песков и галечников низкой надпойменной террасы имеется

лиза слабопесчанистых коричневато-бурых глин. Мощность линзы глин 1,5-2 м, площадь 240 м². Глины ранее использовались местным населением для изготовления кирпича. Аналогичные мелкие месторождения глин, вероятно, могут быть выявлены в пойменных и террасовых отложениях и в других участках долин крупных рек.

Галька и гравий

Малые месторождения гальки и гравия расположены в руслах р.Магей (15) и в приустьевой части р.Кундуми в бассейне р.Маймакан (26). Здесь в надпойменных террасах отмечаются крупные пластообразные тела гальки и гравия. Линзы имеют 200-220 м по протяженности и мощность 3-3,5 м (р.Магей) и 180-200 м по протяженности и мощность 2-2,3 м (р.Кундуми). Ширина благоприятных для разработки участков террас не менее 50 м. Ориентировочные запасы составляют 20 тыс.м³ (р.Магей) и 15 тыс.м³ (р.Кундуми). В линзах преобладает гравий (40-45%) и галечник (30-35%). Кроме того, имеются валуны (10-15%), а также песок и глинистый материал (15-20%). Окатаанность и сортировка материала довольно хорошая, размер гальки, как правило, не превышает 10-15 см. В месторождении, расположенном в бассейне р.Магей, галька и гравий представлены в основном эфузивными породами кислого и основного состава, а обломочный материал бассейна р.Маймакан отличается более гестрым составом, среди которого отмечаются кислые эфузивы, анортозиты, гнейсы и граниты.

ОБЩАЯ ОЦЕНКА ПЕРСПЕКТИВ РАЙОНА

Наиболее высоко оцениваются перспективы территории листа 0-53-ХХХII в отношении полиметаллических руд и золота. Это обусловлено наличием в районе мезозойских гранитоидов, с которыми связана полиметаллическая и золотая минерализация, а также широким развитием разрывных нарушений, способствующих интенсивной циркуляции гидротермальных растворов. Большинство проявленных полиметаллов и золота сосредоточено в междууречье Кира - Мукиткан - Наднинника. К этому же участку приурочены шлиховые ореолы базовисмутита, шеелита, значительная часть обнаруженного в шлихах золота, а также металлометрические ореолы вторичного рассеяния серебра, свинца, цинка, меди и молибдена. Широко развиты здесь трещиноватые окварцованные и гидротермально-измененные породы. Все отмеченное выше позволяет рекомендовать этот участок, тяготеющий к зоне Джугджурского разлома, для постоян-

ки поисково-съемочных работ масштаба 1:50 000 с последующей необходимой детализацией с целью выявления промышленных скоплений полиметаллических руд и золота, а также существующего им молибдена. Поисковый интерес представляют и другие обнаруженные в районе проявления полиметаллических руд и золота, особенно в бассейне р.Дэлжаты (23) и на левобережье р.Чина (9).

Представляется перспективным на россыпное месторождение платины участок Чадского массива. Здесь необходима закладка линии шурпов в долине правого берега сверху притока р.Чад с обязательным отпробованием приподнятых горизонтов аллювия.

Наличие большого количества коренных источников сноса золота, присутствие этого металла в аллювии в сочетании с благоприятными геоморфологическими условиями позволяет достаточно высоко оценить перспективы территории листа на россыпное золото. Наиболее интересными в этом отношении являются долины рек Нальниджа и Кира. Выявление новых месторождений стоды в районе предполагается мало вероятным ввиду ограниченного распространения раннепротерозойских пегматитов, с которыми связаны наиболее перспективные следопытования.

Проявления горного хрустала, установленные в районе, сами по себе не представляют промышленного интереса из-за трециноватости и загрязненности кристаллов. Однако благоприятная геологическая обстановка и признаки, характерные для промышленных скоплений горного хрустала – наличие нескольких генераций кварца и кристаллов свободного роста – в совокупности позволяет предполагать возможность обнаружения небольших месторождений в бассейнах рек Тум, Чад и Олондо.

Район относительно богат строительными материалами, которые могут быть использованы в производстве бутового, штучного и облицовочного камня, для выделки кирпича, в качестве балласта при дорожном строительстве и наполнителя тяжелых бетонов. Все они могут разрабатываться открытым способом.

ПОДЗЕМНЫЕ ВОДЫ

В гидрогеологическом отношении территории листа 0-53-XXXI изучена слабо. Почти повсеместное развитие в районе многолетней мерзлоты, мощность которой, по данным скважины Тавитак (лист 0-53-XXXI), достигает не менее 200 м, сильно влияет на формирование и циркуляцию грунтовых вод. Слой мерзлого грунта, который летом оттаивает лишь на глубину от 0,5 до 3-3,5 м, является своеобразным водоупором, затрудняющим просачивание атмосфер-

ных осадков и вод, образовавшихся за счет таяния многолетней мерзлоты, и, с другой стороны, способствует их быстрому стоку. Последнему благоприятствует и рельеф района, отличающийся глубоким эрозионным расщленением, густой сетью водотоков и узостью водораздельных поверхностей.

Наблюдения над источниками, анализ литологического состава слагающих район пород, и их структур позволяют классифицировать воды по условиям зарегания и характеру движения на два типа подземных вод – фильтрационные (приуроченные к пластам) и фрикционные (с локальным накоплением вод в трещинах).

Фильтрации воды связаны главным образом с аллювиальными отложениями и образуют сравнительно выраженные и маломощные горизонты. Водоносными являются галечники или пески, водонапором служат либо коренные породы, либо прослои суглинков, а также мерзлоты. По характеру движения воды не являются напорными, питание их происходит за счет атмосферных осадков и таяния многолетней мерзлоты. Уровень воды в горизонте хотя и недоступен, но достаточно высок, а поэтому малейшее понижение в рельефе приводит к заболоченности местности. Вода отличается хорошими физическими свойствами и вкусовыми качествами: чистая, прозрачная, холодная, мягкая, без запаха. Наиболее богатые водонесущие горизонты расположены в аллювиальных отложениях вдоль крупных рек Маймакан, Магеи, Нагим, Кундуми, Чад, Тум.

В междууречье Чад – Олондо можно предполагать наличие на глубине ниже подошвы многолетней мерзлоты напорных вод, обусловленных особенностями Чадской синклинальной складки, в значительной части выполненной терригентными породами.

Флюиды в воде связаны с преобладающими в районе математическими и метаморфическими породами. Их водообильность определяется степенью трещиноватости пород, формой, размерами и выдержанностью трещин. Наибольший интерес представляют зоны трещиноватости и наиболее крупных разрывов. Так, в поле развития математических пород района отмечались источники с очень незначительным, не превышающим 0,3-0,4 л/с дебитом, обычно исходящего характера, а два водообильных источника, обнаруженных в районе, приурочены к зонам разломов. Один из них находится в верховых р.Бургали и имеет дебит 15-20 л/с, другой представляет собой массу небольших самостоятельных источников, дебитом до 1 л/с, расположенных вдоль зоны разлома на правобережье р.Ногокан. Общий дебит источников здесь не менее 20-30 л/с.

К фитоационным водам можно также отнести воды карстовых пустог, которые могут быть среди доломитов и известняков нижнего кембрия. Неоднократно отмечалась значительная обводненность поверхности склонов, особенно у основания, в участках развития вышеотмеченных пород.

На соседних с запада и востока территориях воды отличаются слабой минерализацией - до 190 мг/л и обычно являются углекислыми, пресными, либо сульфатно-натриевыми, магниево-натриево-кальциевыми, либо хлорино-гидрокарбонатными, натриево-кальциевыми (Ставицкий и др., 1965б). (Гамалея и др., 1964ф). Можно предположить, что воды отмеченной территории аналогичны по составу водам смежных территорий.

Проблема водоснабжения в летнее время может быть решена использованием вод поверхностного стока. В засушливые годы, а также в зимнее время возможно использование подземных вод. Однако оценить перспективы последних для водоснабжения без специальных гидрогеологических изысканий невозможно.

ЛИТЕРАТУРА

О П У Б Л И К О В А Н Н А Я

- А п е л ь ц и н Ф.Р. Перспективы золотоносности мезокайнозойских вулканогенных образований на северо-востоке СССР. - Сов.геология, 1958, № 10.
- Б о г о м о л о в М.А., К и ц у л В.И. Чадский ультраосновной щелочная массив на восточной окраине Алданского щита. - В кн.: "Петрография метаморфических и изверженных пород Алданского щита". Наука, 1964.
- Е л ь я н о в А.А. Некоторые особенности карбонатитов Кондёрского интрузивного массива. - Тр.ВАГТ, вып.7. Госгеотехиздат, 1961.
- Е л ь я н о в А.А., М о р а л е в В.М. Новые данные о возрасте ультраосновных и щелочных пород Алданского щита. - Докл. АН СССР, т.141, 1961, № 3.
- З а б р о д и н В.Е. О ранних этапах развития осадочного чехла юго-востока Сибирской платформы. - Изв.АН СССР, сер.геол., 1966, № 8.
- З л е н к о Н.Д. Позднесинийские интрузии центрального типа восточной окраины Алданского щита. - Тр.ВАГТ, вып.7. Госгеотехиздат, 1961.

З л е н к о Н.Д., Ш п а к Н.С. Раннесинийские субвуликанические образования юго-восточной части Алданского щита. - Тр. ВАГТ, вып.7, Госгеотехиздат, 1961.

З у б к о в В.Ф. Геологическая карта СССР масштаба 1:200 000, лист 0-53-IV. Объяснительная записка. Госгеотехиздат, 1961.

Л е б е д е в А.П., П а з л о в Н.В. Джулукурский анортозитовый массив. Изд.АН СССР, 1957.

М о ш к и н В.Н. Новые данные по стратиграфии докембрия Удско-Зейского района. - Сов.геология, 1960, № 6.

М о ш к и н В.Н., З у б к о в В.Ф., Ш и х а н о в В.А. Новые данные о возрасте Джугджурских анортозитов. - Докл.АН СССР, т.137, 1961, № 2.

Р о ж к о в И.С., К и ц у л В.Н. Месторождения платины на Алданском щите. - Геология рудных месторождений, 1961, № 4.

Т у г а р и н о в А.И., С т р у н и к о в а Н.И., З и к о в Н.Д. К геохронологии юга Сибирской платформы. - Изв. АН СССР, сер.геол., 1965, № 1.

Ш п а к Н.С. Новые данные по стратиграфии архейских и протерозойских образований восточной окраины Алданского щита. - Тр. ВАГТ, вып.7. Госгеотехиздат, 1961.

С а м о з в а н ц е в В.А. Государственная геологическая карта СССР масштаба 1:1 000 000, лист 0-53 (Нелькан). Объяснительная записка. Госгеотехиздат, 1962.

Я р м о л ю к В.А. Протерозой восточной части Алданской плиты. Матер.геол. и полезн.ископ.Дальнего Востока. Госгеотехиздат, 1946.

Ф О Н Д О В А Я Х/

А г е н т о в В.Б. и пр. Геология и полезные ископаемые юго-восточной части территории листа 0-53-ХХVII, 1963.

А л е к с е е в В.Р., Ж у к о в а Е.Г., М а х о н и - н а л.И., П а в л о в а Е.Е., З о л о т а р е в с к и й Ю.М. Отчет по работам партии № 5 экспедиции № 2 ВАГТ за 1957 г. 1958.

х/ Материалы, местонахождение которых не указано, хранятся в фонде объединения "Аэрогеология".

А л е к с е е в В.Р., Ж у к о в а Е.Г. Архивные материалы (полевые дневники, результаты анализов) по редакционно-увязочным работам на листе 0-53-ХХХУ в 1959 г. Фонд Алданской экспедиции объединения "Эзротеология".

Г а м а л е я Р.Н., К о г е н В.С., О н и щ е н к о В.А. Объяснительная записка к геологической карте СССР масштаба 1:200 000, лист 0-53-ХХХ, 1964.

Г л е б е ц В.П. Предварительный отчет Восточно-Маймаканской геологопоисковой партии о летних работах 1936 г. Учурская контора треста "Золоторазведка", 1936. Сомзгеолфонд.

Г о л ь д е н б е р г В.И., Г р и г о р а ш Г.Ф., Н е - В о л и н Б.С., П у г а ч е в а И.П. Объяснительная записка к геологической карте СССР масштаба 1:200 000, лист 0-53-ХХХУ. 1964.

Д з е в а н о в с к и й Ю.К. Теология Алданской птицы. Дис. на соиск. учен. степ. докт.-минерал. наук, 1950. Созгеолфонд.

Л е о н о в А.Е. Отчет Учуро-Маймаканской геологопоисковой партии. Учурская контора треста "Золоторазведка", 1936. Сомзгеолфонд.

Н а т а р о в В.Н., Д и о м и д о в а В.А. Отчет Матманской геологопоисковой партии о летних работах в 1942 г. Трест Якутзолово, 1942. Сомзгеолфонд.

Н у ж н о в С.В. Синийские отложения Учуро-Майского района. 1961.

С к о т а р е н к о В.В., М о р а л е в В.М., С к о т а - р е н к о С.Д. Отчет о поисковых геохимических работах в бассейне р. Маймакан, 1964.

С т а в ч е в А.Л. Объяснительная записка к геологической карте СССР масштаба 1:200 000, лист 0-53-ХХХ, 1964.

С т а в ч е в А.Л., А л е к с е е в В.Р., К а н а е в А.П. Объяснительная записка к геологической карте СССР масштаба 1:200 000, лист 0-53-ХХХ, 1965.

С т а в ч е в А.Л., Т а р х о в а М.А. Геологическое строение бассейна среднего течения р. Сев. Уй, 1950.

Т и ш к и н В.М., Т у р ч е н е в а Е.П. Отчет по геофизическим работам, 1958.

У с т и в Е.К. Стратиграфия и петрология нижнемеловых и верхнегорских - нижнемеловых эфузивов и туфов северо-востока СССР. Петрография математических образований северо-востока СССР, т.Ш, 1952. Магадан.

Ф е р д м а н И.М., Р о с с м а н Г.И., Ш и л и н а С.Е. и др. Отчет по работам партии № 4 экспедиции № 2 ВАГТ в 1957 г., 1958.

Ф и л и п п о в А.С., Ж у к о в а Е.Г., К о г е н В.С. Геологическое строение и полезные ископаемые бассейна среднего течения р. Учур, 1963.

Ф и л и ч е в И.И., С м и р н о в а Н.М., Р у д а к о - в а Г.И., С к о р о х о д В.В. Геология и полезные ископаемые юго-западной части территории листа 0-53-ХХХ. 1966.

Ф и л и ч е в И.И., Р у д а к о в а Г.И., К а ш и - на Г.М. Объяснительная записка к геологической карте СССР масштаба 1:200 000, лист 0-53-ХХХ, 1967. Фонд экспедиции № 2 объединения "Эзротеология".

Х е р у в и м о в а Е.Г., Л а р и о н о в В.А. Отчет по аэромагнитным работам, проведенным в 1956 г. в восточной части Алданского шта, 1957.

Ш п а к Н.С. Объяснительная записка к геологической карте СССР масштаба 1:200 000, лист 0-53-ХХ. 1965.

Приложение I

СПИСОК МАТЕРИАЛОВ, ИСПОЛЬЗОВАННЫХ ДЛЯ СОСТАВЛЕНИЯ
КАРТЫ ПОЛЕЗНЫХ ИСКОПАЕМЫХ

СПИСОК ПРОМЫШЛЕННЫХ МЕСТОРОЖДЕНИЙ ПОЛЕЗНЫХ ИСКОПАЕМЫХ,
ПОКАЗАННЫХ НА ЛИСТЕ 0-53-ХХХУ ГЕОЛОГИЧЕСКОЙ КАРТЫ
МАСШТАБА 1:200 000

Приложение 2

# п/п	Фамилия автора	Название работы	Год состав- ления	Местонахож- дение мате- риала, его фондовый номер и мес- то издания		№ по кар- те	Индекс клетки на карте	Наименование месторождения и вид полезно- го ископаемого	Состоя- ние экс- плуата- ции	Тип месторож- дения (К - коренное, Р - рассыпное)	Номер исполь- зованных ма- териалов по списку (прил. 1)
				по кар- те	по ископаемо- му						
1	Алексеев В.Р., Жукова Е.Г., Махонина Л.И., Павлова Е.Е., Золотарев- ский Ю.М.	Отчет по работам партии № 5 экспедиции № 2 ВАГГа за 1957 г., т.1, ч.2 (рукопись)	1958	Фонд объединения "Аэро- геология" № 906							
2	Бердман И.М., Россман Г.И., Шилина С.Е., Зивзах Р.М., Зельцман Е.И.	Отчет по работам пар- тии № 4 экспедиции № 2 ВАГГа за 1957 г., т.1, ч.1 (рукопись)	1958	Там же, № 906	Строительные материалы Базальты	20	Ш-2 р.Мүкиткан	Закон- сервиро- вано	К	К	I
3	Алексеев В.Р., Жукова Е.Г.	Архивные материалы по редакционно-увязочным работам на листе 0-53-ХХХУ в 1959 г.		Фонд Алдан- ской экспе- диции обе- динения "Аэротело- гия"	Галька и гравий	27	IV-2 р.Кундумы	To же	К	I	
4	Скотаренко В.В., Моралев В.М., Скотаренко С.Д.	Отчет о поисковых гео- химических работах в бассейне р.Маймакан (рукопись)	1964	Фонд обье- динения "Аэрогеоло- гия" № 1552	Не экс- плуати- руется	15	IV-2 р.Маймакан	To же	К	I, 2	

Приложение 3

СИСТОМЫ НЕФРОДИЩЕННЫХ МЕСТОРОЖДЕНИЙ ПОЛЕЗНЫХ ИСКОПАЕМЫХ,
ПОКАЗАННЫХ НА ЛИСТЕ 0-53-XXXII ГЕОЛОГИЧЕСКОЙ КАРТЫ
МАСШТАБА 1:200 000

№ по кар- те	Индекс клетки на кар- те	Наименование месторождения и вид полезно- го ископаемо- го	Состоя- ние экс- плуата- ции	Тип месторож- дения (К - ко- польован- ное, Р - российское)	Номер ис- пользован- ных мате- риалов по списку				
					Местоположение проявлений и вид ископаемого				
НЕМЕТАЛЛИЧЕСКИЕ ИСКОПАЕМЫЕ									
Слюдя-мусковит									
8 I-2	р.Маймакан выше устья р.Эльгекан		Не экс- плуати- руется		К				
4					4				
Глины кирличные									
21 III-2	пос.Маймакан		Не экс- плуати- руется		К				
3					I				

Приложение 4

№ по кар- те	Индекс клетки на кар- те	Местоположение проявлений и вид ископаемого	Характеристика проявлений	№ исполь- зованного материала по списку (приложе- ние 1)				
МЕТАЛЛИЧЕСКИЕ ИСКОПАЕМЫЕ								
Титан								
4 I-1	р.Чад		Штиховом ореол					
25 IУ-1	р.Маймакан		To же					
3 I-1	р.Чад (хромит)		Хром Штиховой ореол					
Полиметаллические руды								
39 IУ-4	р.Нальникжа		Богатая вкрап- ленность суль- фидов					
41 IУ-4	р.Кира		Убогая вкрап- ленность сульфидов					
30 IУ-3	Водораздел рек Кира и Нагим		To же					
37 IУ-4	Водораздел рек Мукиткан и Наль- никжа		"					
10 I-3	Водораздел рек Сольца и Солнечная		Убогая вкрап- ленность суль- фидов					
3			3					
4			4					
"								

1	2	3	4	5	6
II	П-1	р.Олondono	Рассеянная вкрапленность сульфидов	I,3	Присутствуют золото, горный хрусталь
33	IV-3	р.Кира	Неравномерная вкрапленность сульфидов	4	Присутствует золото
7	1-2	р.Эльдому	Убогая вкрапленность сульфидов	3	То же
23	IV-1	р.Дъюкатели	Неравномерная вкрапленность сульфидов	4	То же
32	IV-3	р.Кира	Богатая вкрапленность сульфидов	4	"
2	1-1	р.Чад	Убогая вкрапленность сульфидов	3	
35	IV-4	В бассейнах рек Мукиткан, Нантилья, Кира, Нальникчжа и др.	Свинец	39	IV-4 р.Нальникчжа
36	IV-4	Там же	Металлометрический ореол	37	IV-4 Водораздел рек Мукиткан и Нальникчжа
38	IV-4	Там же	Цинк	41	IV-4 р.Кира
		Медь	То же	II	П-1 р.Олondono
				33	IV-3 р.Кира

1	2	3	4	5	6
			Серебро		
18	Ш-1	Бассейн р.Дъюкателей	Металлометрический ореол	4	
17	IV-1	Бассейн р.Тум	То же	4	
34	IV-4, IV-3, Ш-4	В бассейнах рек Мукиткан, Нантилья, Кира, Нальникчжа	"	4	
13	П-4, П-3	р.Малей	"	4	
		Золото			
		Вкрапленность золота			
		То же			
		4	Присутствуют полиметаллы		
		4	То же		
		4	Присутствуют полиметаллы		
		4	То же		
		4	Присутствуют полиметаллы		
		4	То же		
23	IV-1	р.Дъюкатели	То же	4	
32	IV-3	р.Кира	"	4	

1	2	3	4	5	6
9	I-2	р.Чина	Вкрапленность золота	4	Присутствуют полиметаллы
14	II-4, III-4	р.Магей Платина	Шлиховой ореол	2	
3	I-1	р.Чад	Следы платинны в хромите ультраосновных пород	I, 3	
31	IV-3	р.Кира	Вольфрам Шлиховой ореол шеелита	3	
40	IV-4	р.Кира	Молибден Шлиховой ореол ксенотима	2	
1	I-1	р.Чад	Редкие земли Металлометрический ореол	I	
28	IV-3	р.Кира	Металлометрический ореол лантана	I	
6	I-2	р.Эльпому	Шлиховой ореол цирконита, малахита, То же	I	
19	III-1, IV-1	р.Маймакан		I	
1	2	3	4	5	6
29	IV-3, IV-4	р.Кира	Висмут Шлиховой ореол	2, 3	
29	IV-4		НЕБЕСАЛЬЧЕСКИЕ ИСКОПАЕМЫЕ Горный хрусталь Щетки кварца	4	
16	IV-1	р.Тум	То же	4	
12	IV-3	р.Маймакан	Стяжения и друзы кварца	2	
11	IV-1	р.Олондо	Щетки кварца Друзы кристаллов кварца	I, 3	
22	IV-2	р.Тум	Щетки кварца	I	
24	IV-1	р.Нимар		I	

В брошюре пронумеровано 96 стр.

Сдано в печать 27.05.81.

Подписано к печати 26.02.85.

Тираж 198 экз.

Формат 60x90/16

Центральное специализированное

издательство научно-технической

литературы

Издательство "Совгипромгеология"

Москва

95

Редактор И.С.Лудорова
Технический редактор С.К.Леонова
Корректор Л.П.Сеникова

Сдано в печать 27.05.81.

Подписано к печати 26.02.85.

95